



中国认可
国际互认
检测
TESTING
CNAS L0116



报告查询
No.23133K40317

检 验 报 告

TEST REPORT

产品名称 户内金属铠装移开式开关设备
NAME OF SAMPLE

型号规格 KYN28-12/1250-31.5
MODEL

委托单位 江苏亿穆达科技有限公司
CUSTOME

检验类别 型式试验
TEST CATEGORY



浙江方圆检测集团股份有限公司
浙江方圆电气设备检测有限公司
国家电器安全质量检验检测中心(浙江)

声 明

一、本实验室保证检测的公正性、独立性和诚实性，对报告的内容负责，报告中由委托方提供的信息的真实性由委托方负责。

二、本报告未盖本实验室红色检测专用印章、骑缝章无效；报告复印件未重新加盖本实验室红色检测专用印章、骑缝章无效。

三、本报告无编制、审核、批准人签字无效；本报告涂改无效。

四、本实验室接受的送检样品，其代表性和真实性由委托方负责。本实验室对委托方提供的样品及相关技术资料保密。

五、本实验室不负责抽样时，本报告的检测数据和结果只对收到的样品负责。委托方若对本报告有异议，应及时向本实验室提出。政府行政管理部门下达的指令性任务，被检方对抽检结果有异议时，应按政府行政管理部门文件规定及国家相关法律、法规规定进行。

六、本报告各页均为报告不可分割之部分，不完整使用本报告全文由此造成的任何不良后果，本实验室不负相应的法律责任。

DECLARATION

1. Our laboratory guarantees impartiality, independence and honesty of inspection, and is responsible for the content of report. The customer is responsible for the information they provide.
2. The test report is invalid without the red special inspection stamp and paging seal of our laboratory. The copy of test report is invalid without the red special inspection stamp and paging seal of our laboratory.
3. The test report is invalid without signatures of the compiler, reviewer and authorized personnel. The test report is invalid if altered.
4. The customer is responsible for the representation and authenticity of the sample(s) they provide. Our laboratory keeps confidential of the sample(s) and related technical data provided by the customer.
5. The test results shown in this report is only applicable for the sample(s) received when our laboratory has not been responsible for the sampling stage. If there is any dissent of the report, the entrusting party shall notify our laboratory timely. For the mandatory inspection given by governmental administration departments, any dissent about the sample being tested or test results on the report should be dealt with in accordance with national regulations.
6. All the pages of the report are integral parts of the report. Our laboratory will not be responsible for any undesirable consequences caused by using separate page(s) of the report.

浙江方圆电气设备检测有限公司

地址：嘉兴市广穹路 400 号

邮编：314001 网址：www.fydqjc.cn

联系方式：

低压元件部：

0573-82077822、82077990（强制认证检测、自愿性认证检测）

0573-82077811、82077511（委托检测、国际认证检测）

E-mail: fangyuantest_dy@163.com

低压成套部：

0573-82099578（强制认证检测、自愿性认证检测）

0573-82077898（委托检测、国际认证检测）

0573-82077355（消防电器、电源质量治理、汽车充电桩检测）

E-mail: fangyuantest_ct@163.com

高压电器部：0573-82077919、82077099

E-mail: fangyuantest_hv@163.com

电磁兼容部：0573-82077600

E-mail: fangyuantest_emc@163.com

智能电器部：0573-82077855

E-mail: fangyuantest_zn@163.com

防爆电器部：0573-82077233

E-mail: fangyuantest_ex@163.com

国家电器安全质量检验检测中心(浙江)
NATIONAL CENTER OF QUALITY INSPECTION FOR ELECTRICAL SAFETY (ZHEJIANG)

检 验 报 告

产品名称	户内金属铠装移开式开关设备	检验类别	型式试验
型号规格	KYN28-12/1250-31.5	批号或编号	202301333
委托单位	江苏亿穆达科技有限公司	生产单位	江苏亿穆达科技有限公司
委托单位地址	镇江市扬中市新坝镇新中北路 38 号	生产单位地址	镇江市扬中市新坝镇新中北路 38 号
送样者	江苏亿穆达科技有限公司	生产日期	2023 年 01 月
到样数量	1 台	到样日期	2023 年 03 月 10 日
检验依据	GB/T 3906-2020 《3.6kV~40.5kV 交流金属封闭开关设备和控制设备》及委托书要求		
判定依据	GB/T 3906-2020 《3.6kV~40.5kV 交流金属封闭开关设备和控制设备》		
检验项目	详见 检验项目及结论 (第 3 页)		
检验日期	2023 年 03 月 11 日至 2023 年 03 月 21 日	检验地点	嘉兴市广穹路 400 号
检验结论	依据 GB/T 3906-2020 《3.6kV~40.5kV 交流金属封闭开关设备和控制设备》及委托书要求, 对所送样品进行检验, 所检项目的检验结果均符合标准 (判定依据) 要求。  批准日期: 2023 年 04 月 11 日		
备注	/		

批 准:

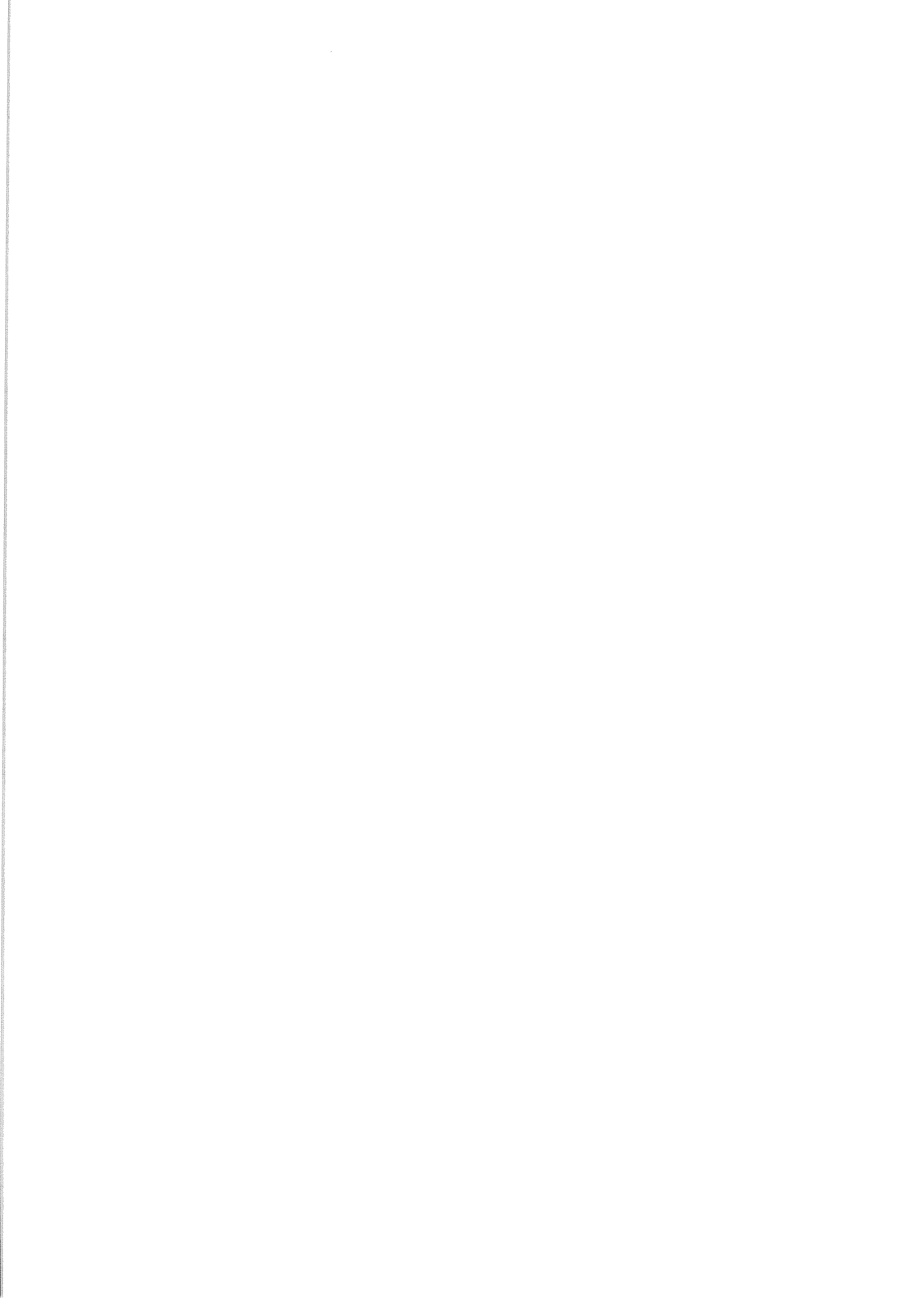
吴 杰

审 核:

许 蔚 翔

编 制:

邱 雯



试品基本信息

名称: 户内金属铠装移开式开关设备
型号: KYN28-12/1250-31.5
委托单位: 江苏亿穆达科技有限公司
地址: 镇江市扬中市新坝镇新中北路 38 号
生产单位: 江苏亿穆达科技有限公司
地址: 镇江市扬中市新坝镇新中北路 38 号

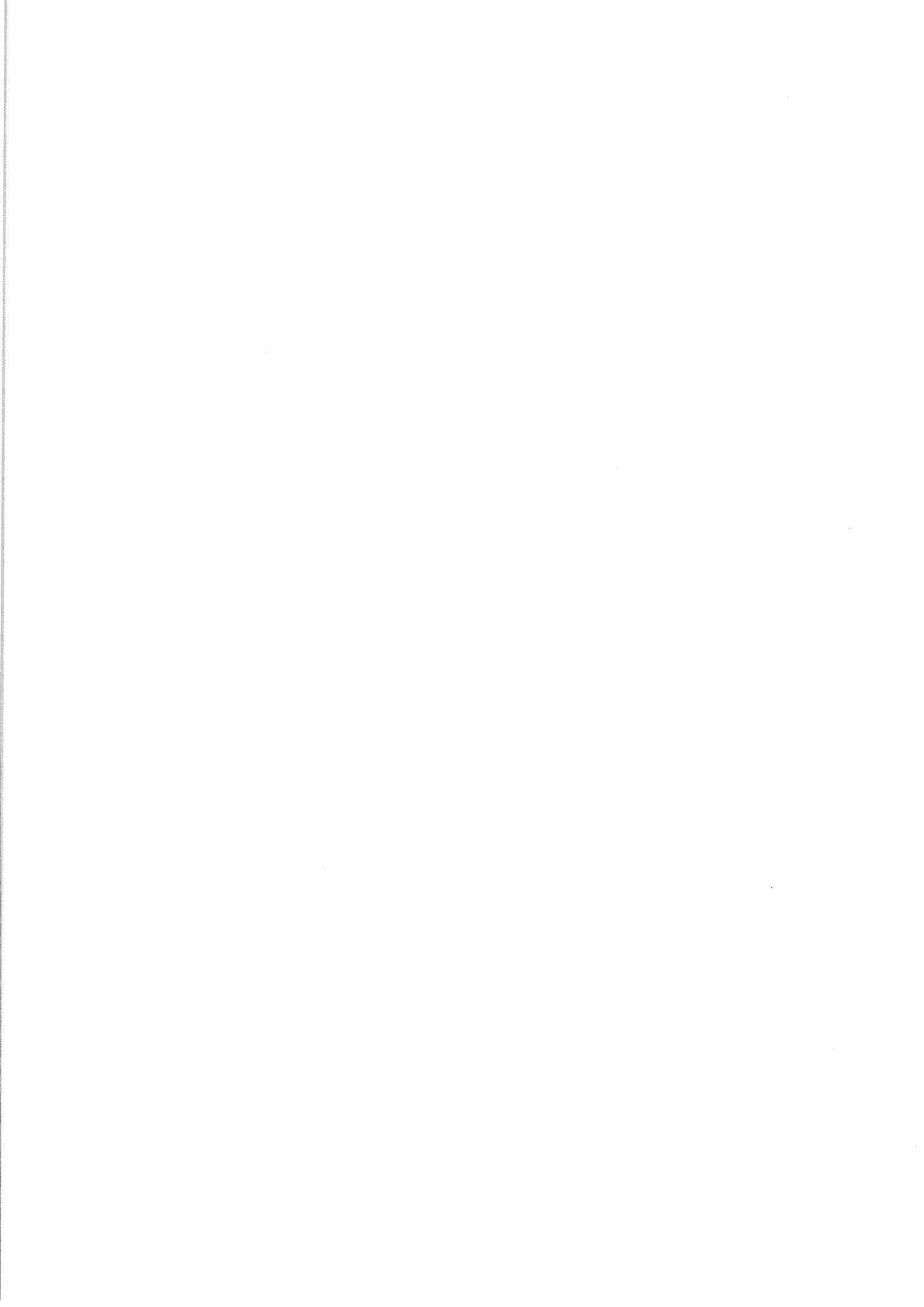
生产单位规定的试品主要技术数据:

额定电压 (kV)	12	
额定电流 (A)	1250	
额定频率 (Hz)	50	
额定短时耐受电流 (主回路) (kA)	31.5	
额定峰值耐受电流 (主回路) (kA)	80	
额定短路持续时间 (主回路) (s)	4	
额定短时耐受电流 (接地装置) (kA)	31.5	
额定峰值耐受电流 (接地装置) (kA)	80	
额定短路持续时间 (接地装置) (s)	4	
额定短时耐受电流 (接地回路) (kA)	27.4	
额定峰值耐受电流 (接地回路) (kA)	69.6	
额定短路持续时间 (接地回路) (s)	2	
关合和开断能力的验证 T100s 开断电流 (kA)	31.5	
关合和开断能力的验证 T100s 关合电流峰值 (kA)	80	
关合和开断能力的验证 T100a 开断电流 (kA)	31.5	
额定短时工频耐受电压 (对地及相间) (kV)	42	
额定雷电冲击耐受电压 (对地及相间) (kV)	75	
额定短时工频耐受电压 (断口) (kV)	48	
额定雷电冲击耐受电压 (断口) (kV)	85	
防护等级	试品外壳	IP4X
	试品内部隔室之间及断路器室门打开时	IP2X
备注: /		



检 验 项 目 及 结 论

检验依据		GB/T 3906-2020 《3.6kV~40.5kV 交流金属封闭开关设备和控制设备》 委托书要求		
序号	检验项目	参数	判定标准	结果
1	工频电压试验	相间及对地: 42kV/1min 主开关断口: 48kV/1min	GB/T 3906-2020 第 7.2.7.2 条	符合
2	雷电冲击电压试验	相间及对地: 75kV 主开关断口: 85kV	GB/T 3906-2020 第 7.2.7.3 条	符合
3	辅助和控制回路的 绝缘试验	2kV/1min	GB/T 3906-2020 第 7.2.11 条	符合
4	IP 代码的验证	外壳: IP4X 试品内部隔室之间及断路器室门 打开时: IP2X	GB/T 3906-2020 第 7.7.1 条	符合
5	回路电阻的测量	主回路: $\leq 150\mu\Omega$ 断路器: $\leq 60\mu\Omega$	GB/T 3906-2020 第 7.4 条	符合
6	短时耐受电流和峰值 耐受电流试验	主回路及接地装置: 31.5kA/4s 峰值 80kA 接地回路: 27.4kA/2s 峰值 69.6kA	GB/T 3906-2020 第 7.6 条	符合
7	关合和开断能力的验证	T100s: 12kV 31.5kA 80kA 峰值 T100a: 12kV 31.5kA	GB/T 3906-2020 第 7.101 条	符合
8	机械操作试验	可移开部件(手车): 1000 次 接地开关: 1000 次	GB/T 3906-2020 第 7.102 条	符合
9	温升试验	1.1×1250A (委托要求)	GB/T 3906-2020 第 7.5 条	符合
备注: /				



试 品 确 认

1、试品总体描述:

KYN28-12/1250-31.5 江苏亿穆达科技有限公司

2、生产单位声明的试品主要构成元件如下:

1) 断路器

型号: VP4-12/1250-31.5

额定电压: 12kV

额定电流: 1250A

额定频率: 50Hz

额定短时耐受电流: 31.5kA

额定峰值耐受电流: 80kA

额定短路持续时间: 4s

额定短路开断电流: 31.5kA

额定短路关合电流: 80kA

额定操作顺序: O-0.3s-CO-180s-CO

制造单位: 平源电力科技有限公司

2) 操动机构

型号: 弹簧储能操动机构(与断路器一体)

分闸线圈额定电压: DC220V

合闸线圈额定电压: DC220V

制造单位: 平源电力科技有限公司

3) 真空灭弧室

型号: TD34-12/1250-31.5A

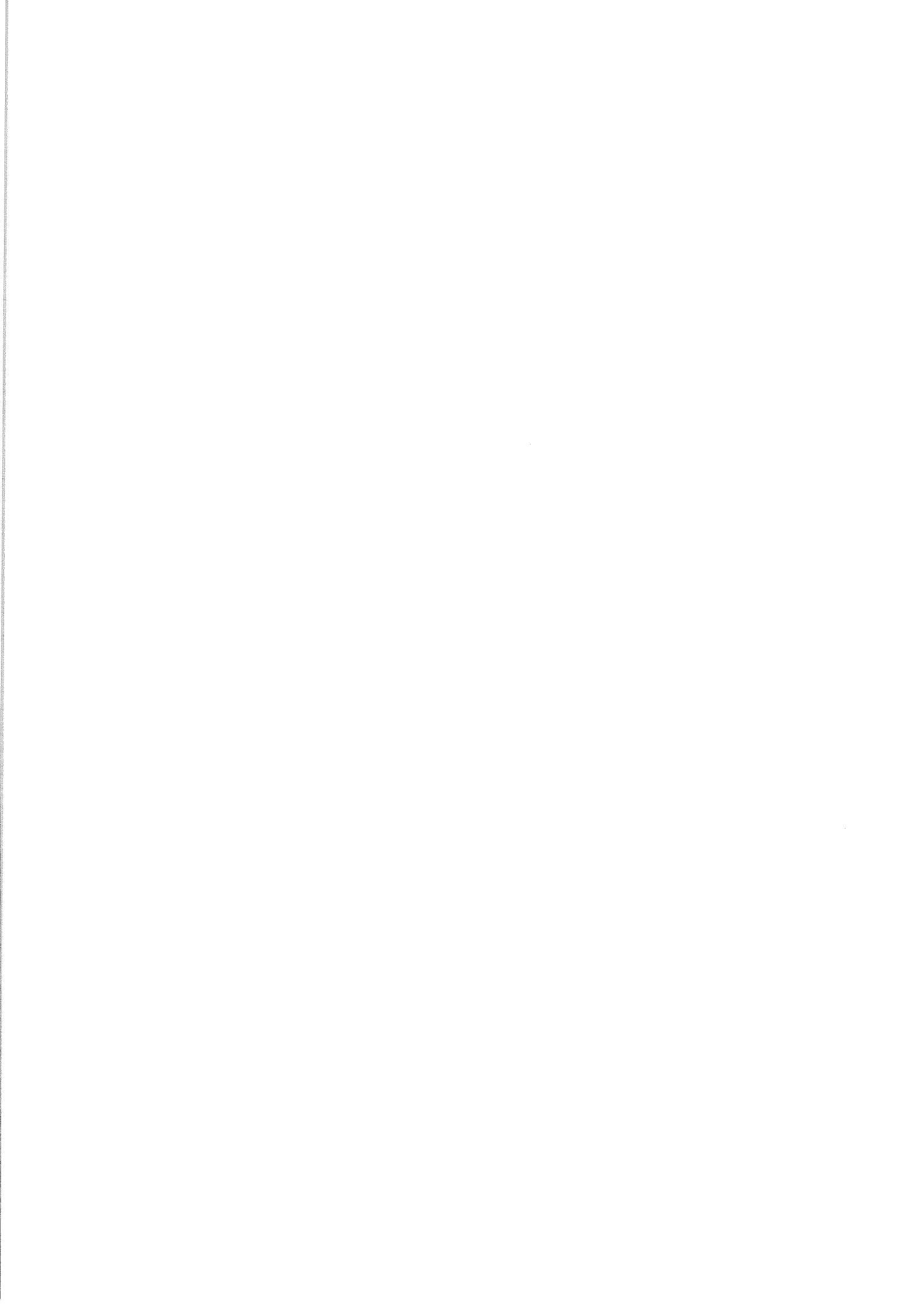
额定电压: 12kV

额定电流: 1250A

额定频率: 50Hz

额定短路开断电流: 31.5kA

制造单位: 陕西宝光真空电器股份有限公司



4) 接地开关

型号: JN15-12/31.5

额定电压: 12kV

额定频率: 50Hz

额定短时耐受电流: 31.5kA

额定峰值耐受电流: 80kA

额定短路持续时间: 4s

操动机构型号、名称: 手力弹簧操动机构 (属接地开关整体结构一部分)

制造单位: 南京捷配电气有限公司

5) 互感器

型号: LZZBJ9-10

额定电压: 12kV

额定电流比: 1250A/5A

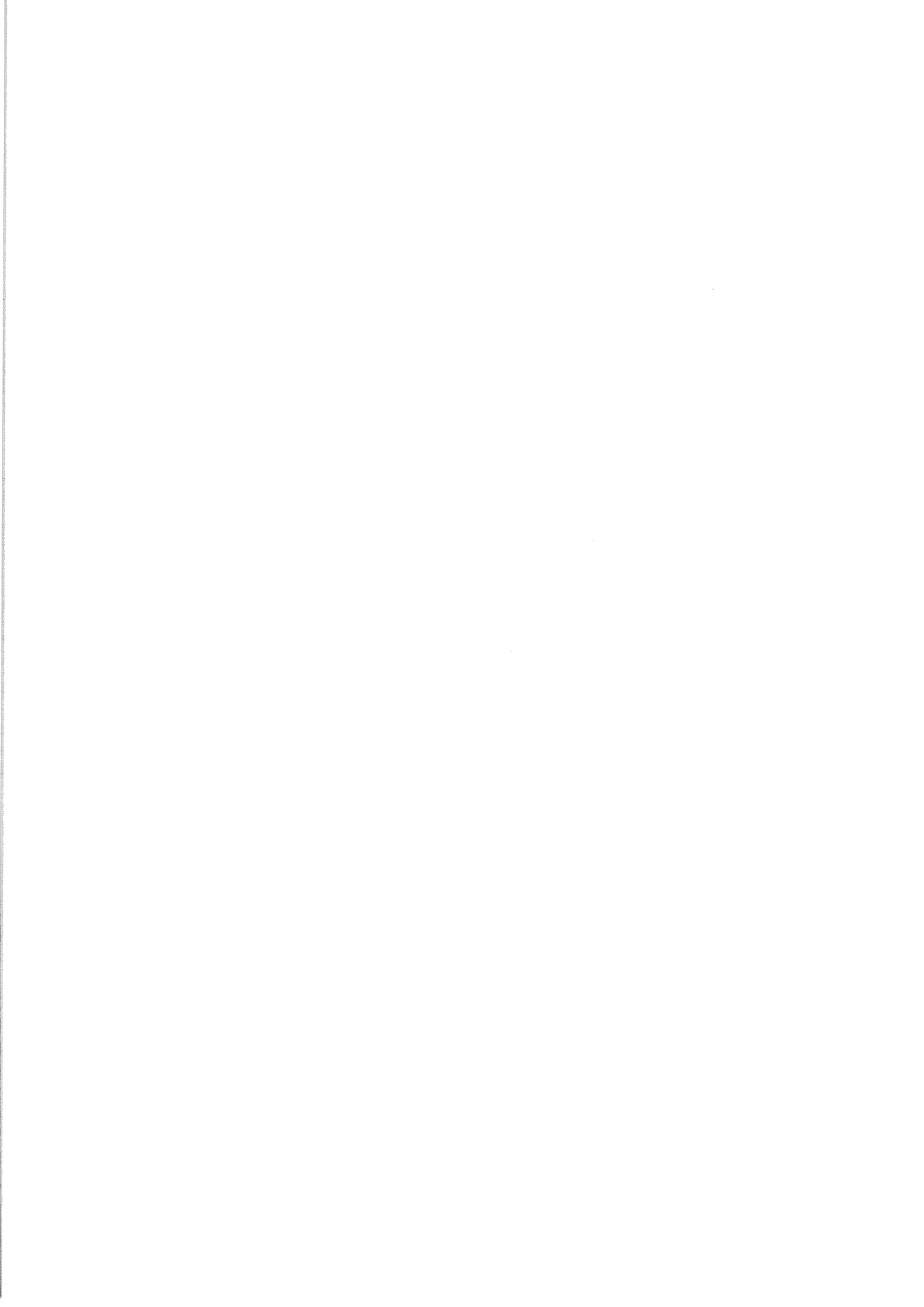
制造单位: 陕西国力互感器有限公司

6) 母线

主母线尺寸: TMY-10mm×80mm

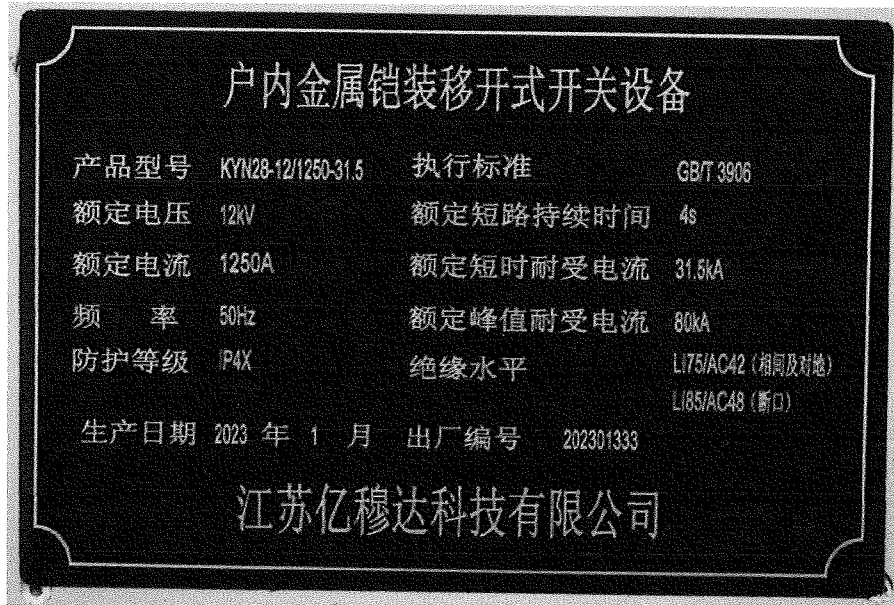
接地母线尺寸: TMY-40mm×8mm

制造单位: /

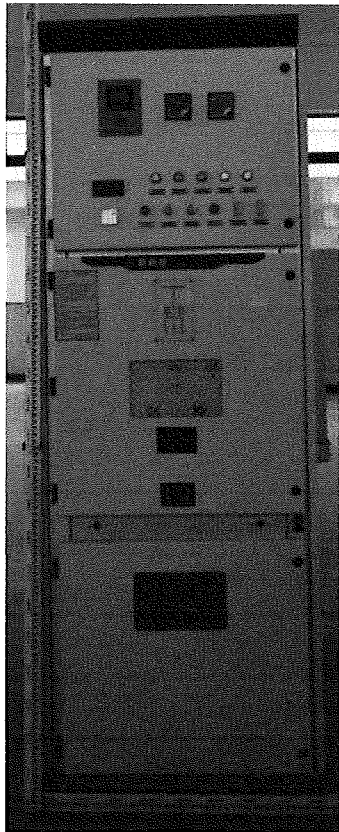


试 品 照 片

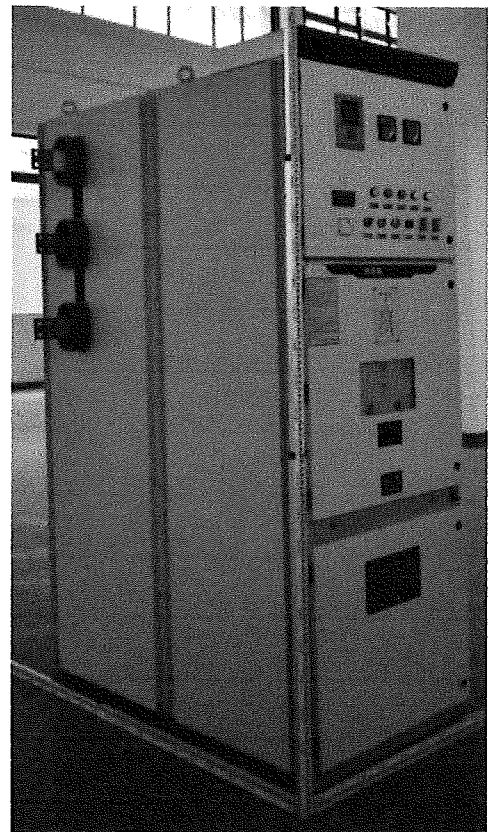
铭 牌 :



正面照片:



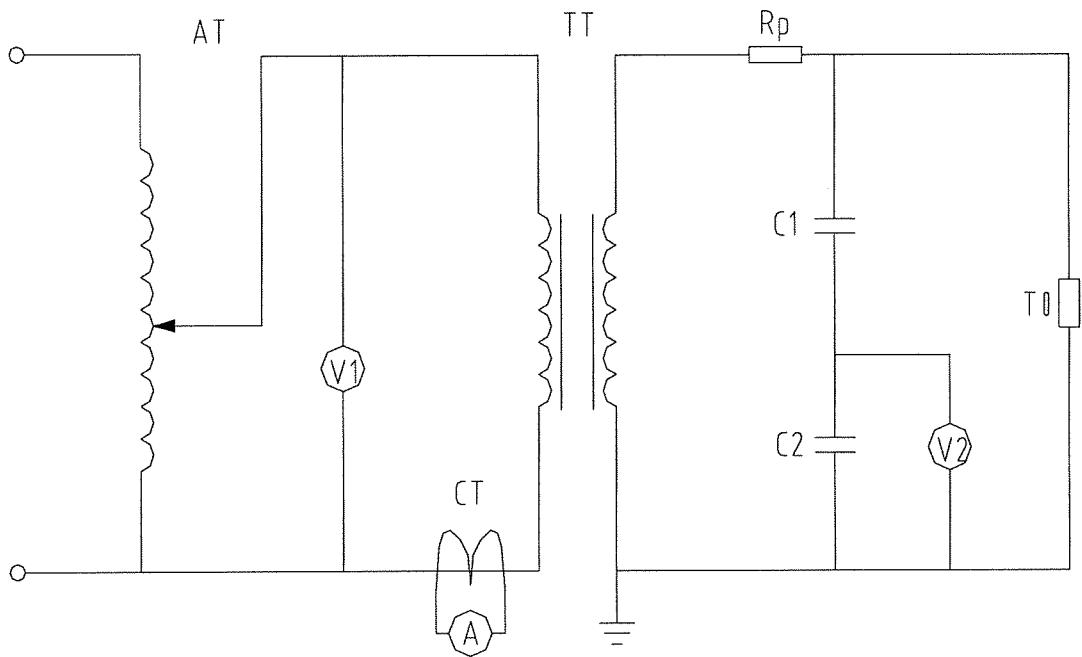
侧面照片:





工频电压试验

试验原理图:



AT	调压器	Regulator	Rp	保护电阻	Protection resistance
CT	电流互感器	Current transformer	TT	工频试验变压器	PF transformer
T0	试品	Tested object	A	电流表	Currentmeter
C1	高压臂电容	H.V arm capacitance	C2	低压电容臂	L.V arm capacitance
V2	峰值电压表 Voltmeter				
工频电压测量系统 Power frequency voltage measuring system					

工 频 电 压 试 验

试验日期: 2023-03-11

试区大气条件: P=102.0kPa t=15.8℃

RH=61.1%

大气校正因数: $K_t=1.022$

试验部位	加压部位	接地部位	应施电压 (kV)	实测电压 (kV)	加压时间 (min)	是否发生 破坏性放电
相间及对地	Aa	BCbcF	$(K_t \times 42)^{\pm 1\%}$	43.0	1	否
	Bb	ACacF		43.1	1	否
	Cc	ABabF		43.2	1	否
断路器	A	BCabcF	$(K_t \times 42)^{\pm 1\%}$	43.2	1	否
	a	ABCbcF		43.0	1	否
	B	ACabcF		43.0	1	否
	b	ABCacF		43.0	1	否
	C	ABabcF		43.1	1	否
	c	ABCabF		43.2	1	否
金属活门	ABC	金属活 门表面	$(K_t \times 42)^{\pm 1\%}$	43.1	1	否
	abc	金属活 门表面		43.2	1	否

试验结果: 符合

备注: F——底座; A、B、C ——被试部位一侧端子; a、b、c ——被试部位另一侧端子。

工频电压试验

试验日期: 2023-03-11

试区大气条件: P=102.0kPa

t=15.8°C

RH=61.1%

大气校正因数: $K_t = /$

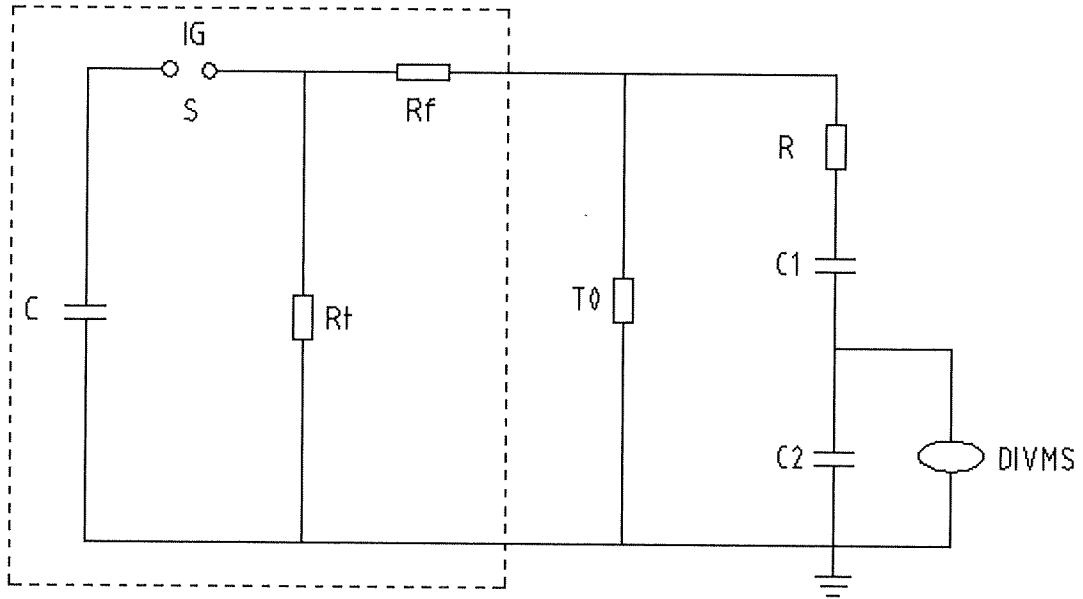
试验部位	加压部位	接地部位	应施电压 (kV)	实测电压 (kV)	加压时间 (min)	是否发生 破坏性放电
断路器	A	a	48 ^{±1%}	48.2	1	否
	a	A		48.1	1	否
	B	b		48.2	1	否
	b	B		48.2	1	否
	C	c		48.0	1	否
	c	C		48.1	1	否

试验结果: 符合

备注: A、B、C——被试部位一侧端子; a、b、c——被试部位另一侧端子。

雷电冲击电压试验

试验原理图:



C	冲击发生器主电容	IG capacitance	Rf	波头电阻	Front resistance
Rt	波尾电阻	Tail resistance	S	冲击点火球隙	Sphere gap
T0	试品	Tested object	C1	高压臂电容	H.V arm capacitance
R	阻尼电阻	Damping resistance	C2	低压臂电容	L.V arm capacitance
DIVMS	数字冲击电压测量系统 (Digital impulse voltage measuring systems)				
冲击电压测量系统 Impulse voltage measuring system					

雷电冲击电压试验

试验日期: 2023-03-13

试区大气条件: P=102.1kPa

t=15.0°C

RH=59.1%

大气校正因数: $K_t=1.025$

试验部位	加压部位	接地部位	应施电压 (kV)	实测电压 (kV)	加压次数 (次)	发生破坏性放电 (次)	
相间及对地	Aa	BCbcF	$(K_t \times 75)^{\pm 3\%}$	+	75.4~77.3	15	0
				-	74.7~76.9	15	0
	Bb	ACacF		+	75.6~77.3	15	0
				-	75.2~77.4	15	0
	Cc	ABabF		+	75.4~77.6	15	0
				-	75.5~77.1	15	0
金属活门	ABC	金属活门表面	$(K_t \times 75)^{\pm 3\%}$	+	75.6~77.7	15	0
				-	75.1~77.1	15	0
	abc	金属活门表面		+	75.9~77.8	15	0
				-	75.7~77.3	15	0

试验结果: 符合

备注: F——底座; A、B、C ——被试部位一侧端子; a、b、c ——被试部位另一侧端子。

雷电冲击电压试验

试验日期: 2023-03-13

试区大气条件: P=102.1kPa

t=15.0°C

RH=59.1%

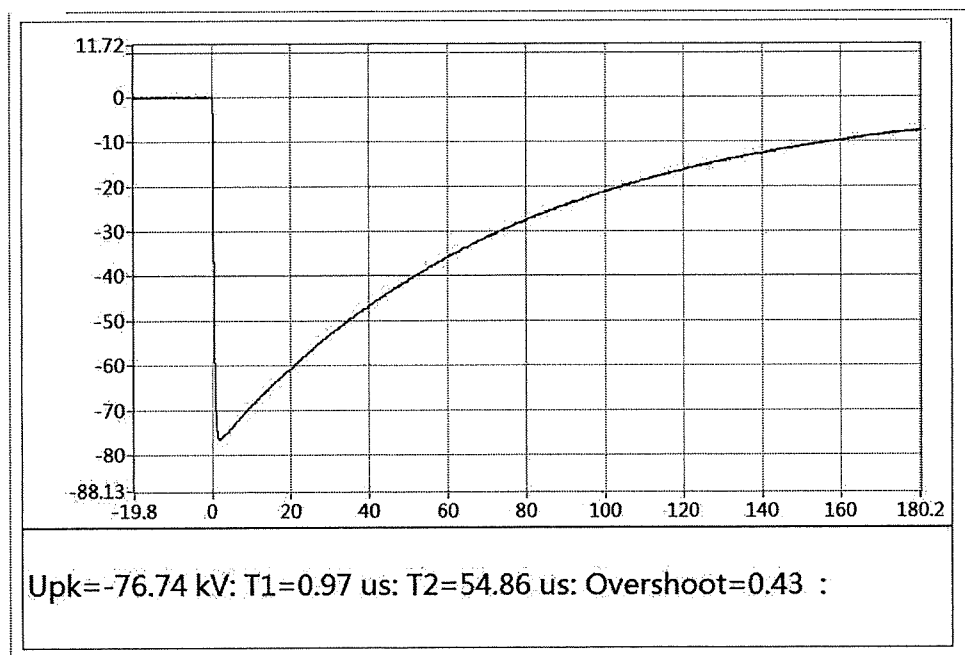
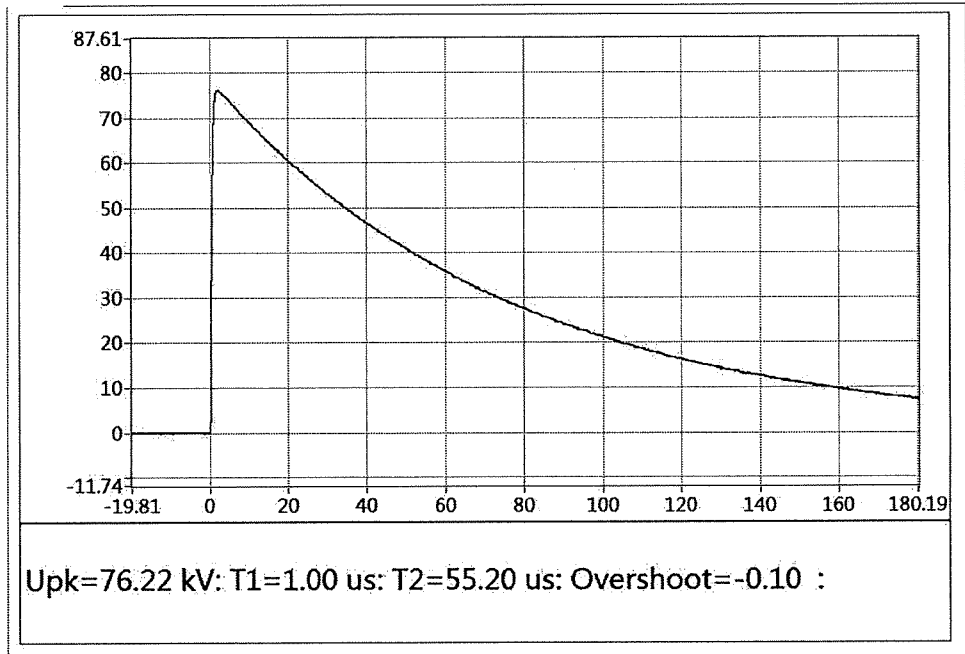
大气校正因数: $K_t=1.025$

试验部位	加压部位	接地部位	应施电压 (kV)	实测电压 (kV)	加压次数 (次)	发生破坏性 放电(次)	
断路器	A	BCabcF	$(K_t \times 75)^{\pm 3\%}$	+	75.2~77.6	15	0
				-	75.1~77.3	15	0
	a	ABCbcF		+	75.6~77.4	15	0
				-	75.3~77.6	15	0
	B	ACabcF		+	75.5~77.2	15	0
				-	75.7~77.5	15	0
	b	ABCacF		+	75.8~77.3	15	0
				-	75.2~77.1	15	0
	C	ABabcF		+	75.9~77.7	15	0
				-	75.4~77.6	15	0
c	ABCabF	+	75.6~77.2	15	0		
		-	75.5~77.0	15	0		
断路器	A	a	$85^{\pm 3\%}$	+	84.2~86.5	15	0
				-	84.4~86.2	15	0
	a	A		+	84.1~86.3	15	0
				-	84.2~86.7	15	0
	B	b		+	84.6~86.5	15	0
				-	84.8~86.2	15	0
	b	B		+	84.3~86.1	15	0
				-	84.5~86.6	15	0
	C	c		+	84.4~86.8	15	0
				-	84.5~86.8	15	0
c	C	+	84.1~86.4	15	0		
		-	84.7~86.3	15	0		

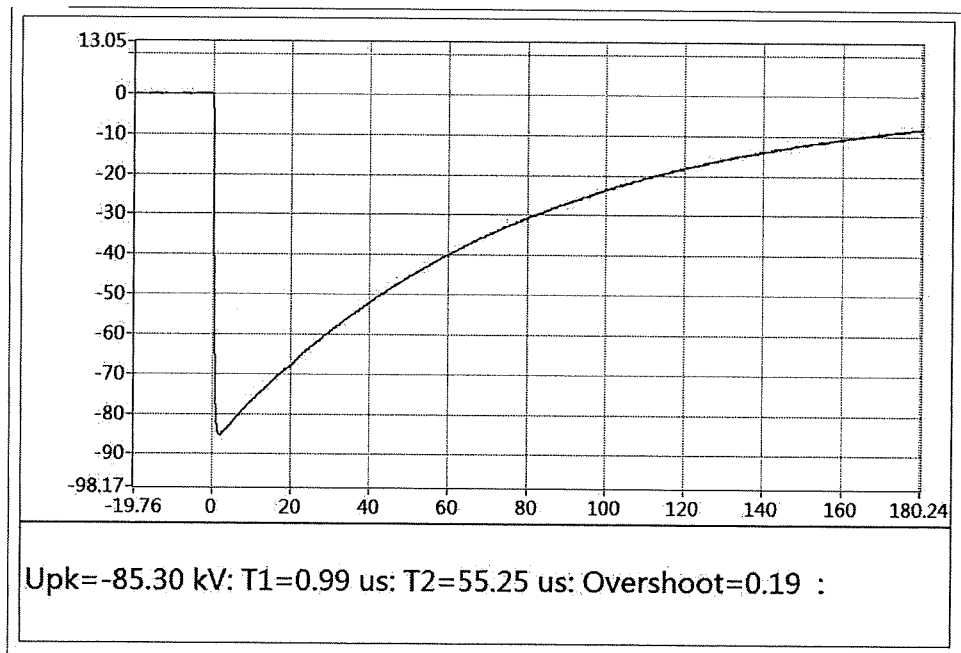
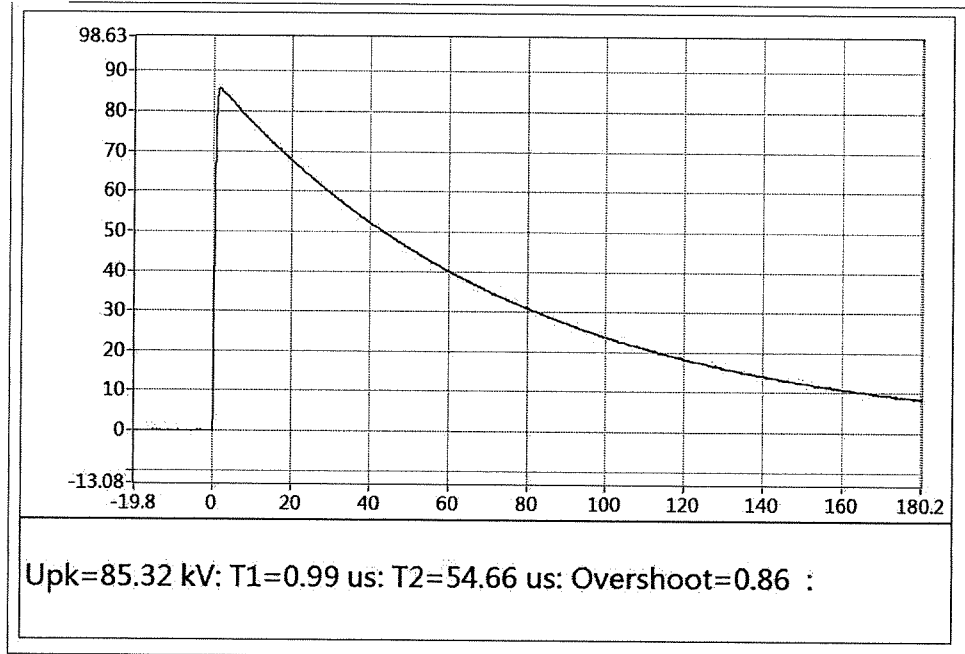
试验结果: 符合

备注: F——底座; A、B、C——被试部位一侧端子; a、b、c——被试部位另一侧端子。

雷电冲击波形图



雷电冲击波形图



辅助和控制回路的绝缘试验

试验日期: 2023-03-11

试区大气条件: $P=102.0\text{kPa}$ $t=15.8^{\circ}\text{C}$

$\text{RH}=61.1\%$

大气校正因数: $K_t=1.00$

a) 电压加在连接在一起的辅助和控制回路与开关装置的底架之间;

试验部位	加压部位	接地部位	应施电压 (kV)	实测电压 (kV)	加压时间 (min)	是否发生 破坏性放电
辅助回路和 控制回路	二次回 路端子	F	$(K_t \times 2)^{\pm 1\%}$	2.00	1	否

b) 电压加在辅助和控制回路的每一部分与连接在一起并和底架相连的其他部分之间;

试验部位	加压部位	接地部位	应施电压 (kV)	实测电压 (kV)	加压时间 (min)	是否发生 破坏性放电
辅助回路和 控制回路	各二次 回路端 子	其他二次 回路端子 与F	$(K_t \times 2)^{\pm 1\%}$	2.00	1	否

试验结果: 符合

备注: F——底座

IP 代码的验证

试验日期: 2023-03-11

试区大气条件: P=102.0kPa t=16.1℃ RH=64.3%

a) IP4X (外壳):

用直径 1.0mm 的试具, 施加 1.0N 的力对外壳所有开口进行试验;

试具不能通过任何开口进入防护空间。

试品外壳达到 IP4X 的防护等级要求。

b) IP2X (断路器室前门打开时及内部隔室间):

用直径 12.0mm, 长度为 80.0mm 的铰接试指并施加 10.0N 的力对试品前门打开时及隔室间的开口进行试验, 铰接试指不能通过任何开口进入防护空间。

用直径 12.5mm 的钢球, 施加 30.0N 的力对试品前门打开时及隔室间的开口进行试验, 钢球不能通过任何开口进入防护空间。

断路器室前门打开时及内部隔室间达到 IP2X 的防护等级要求。

试验结果: 符合

回路电阻的测量

试验日期: 2023-03-14

1、 试验方法: 采用回路电阻测试仪测量电阻

试验电流: 100A (DC)

2、 试验数据:

短时耐受电流和峰值耐受电流试验前

测试部位: 主回路、断路器

环境温度: 15.7 °C

测量部位		试验次数 (次)	要求值 ($\mu\Omega$)	试验电流平均值 (A)	测量电阻平均值 ($\mu\Omega$)
主回路	A 相	3	≤ 150	100.5	82.1
	B 相			100.5	77.5
	C 相			100.5	78.8
断路器	A 相	3	≤ 60	100.5	31.9
	B 相			100.5	31.1
	C 相			100.5	32.7

试验结果: 符合

空载特性

试验日期: 2023-03-14

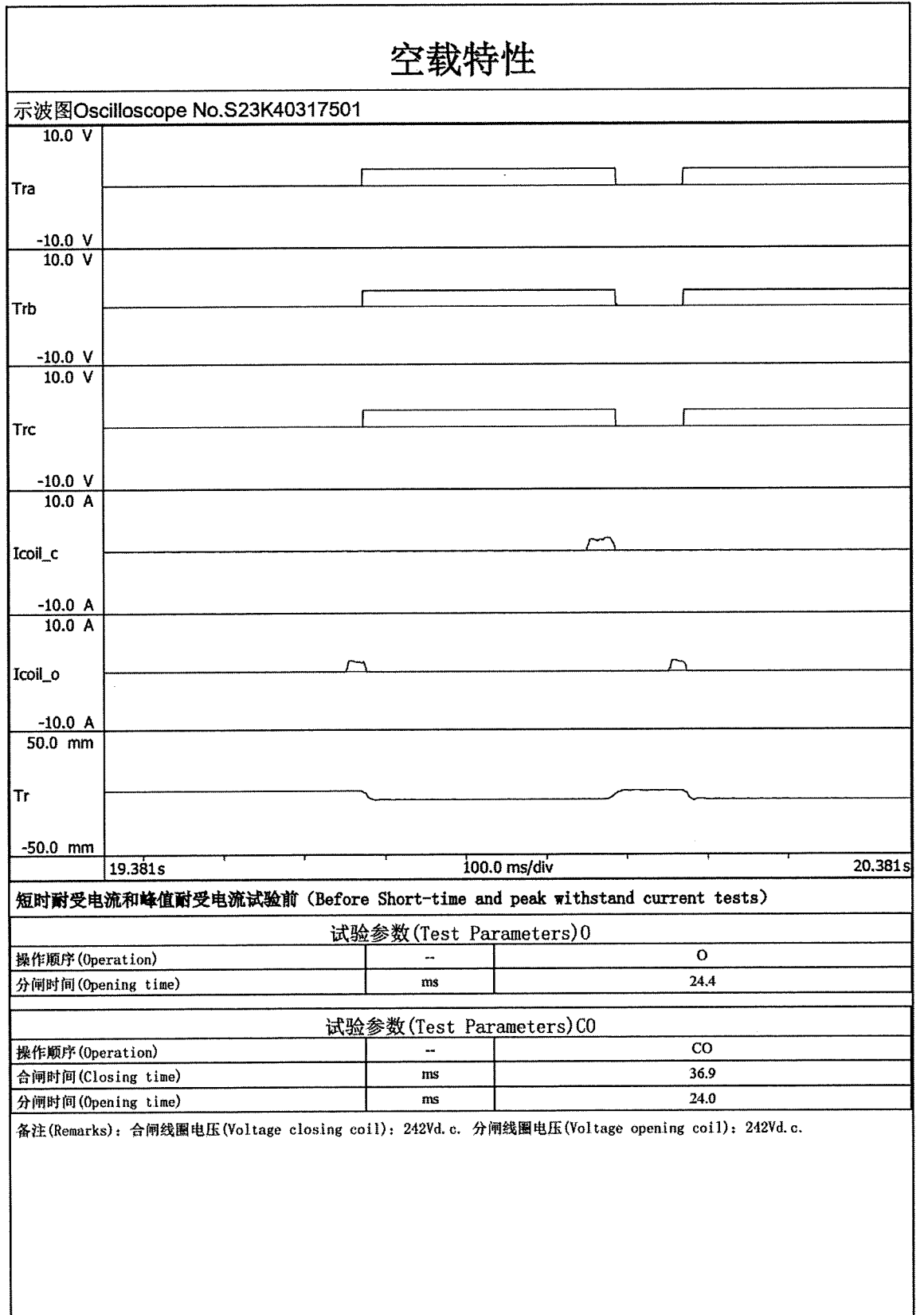
试品状态: 新试品

操作电压 DC (V)			第一次分闸时间 (ms)	合闸时间 (ms)	第二次分闸时间 (ms)	示波图编号
/	合闸 (C)	分闸 (O)				
			20~60	30~100	20~60	
最高	242	242	24.4	36.9	34.0	S23K40317501
额定	220	220	26.0	38.4	25.9	S23K40317502
最低	187	143	35.3	41.2	35.4	S23K40317503

试验结果: 符合

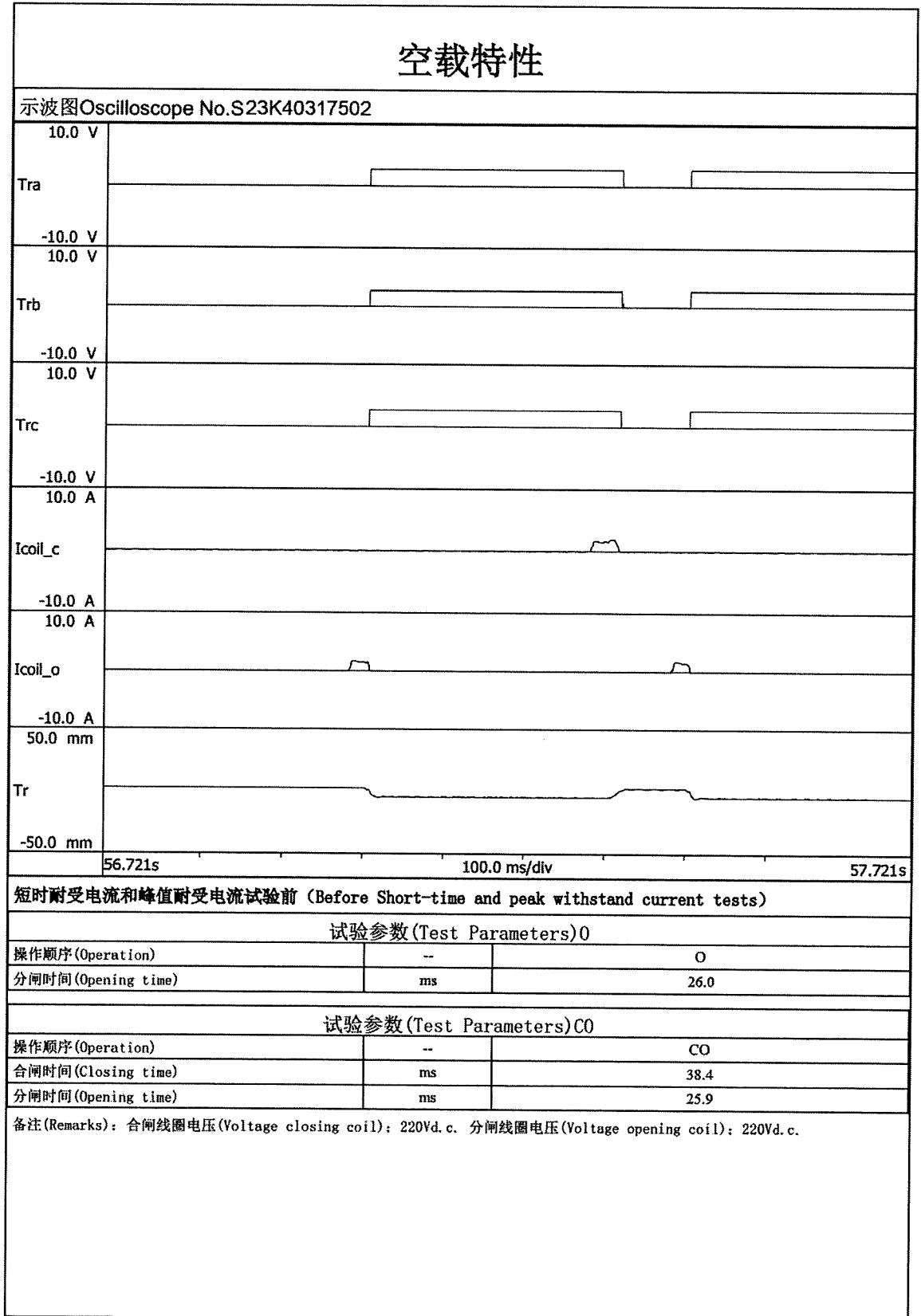
空载特性波形

最高操作电压下:



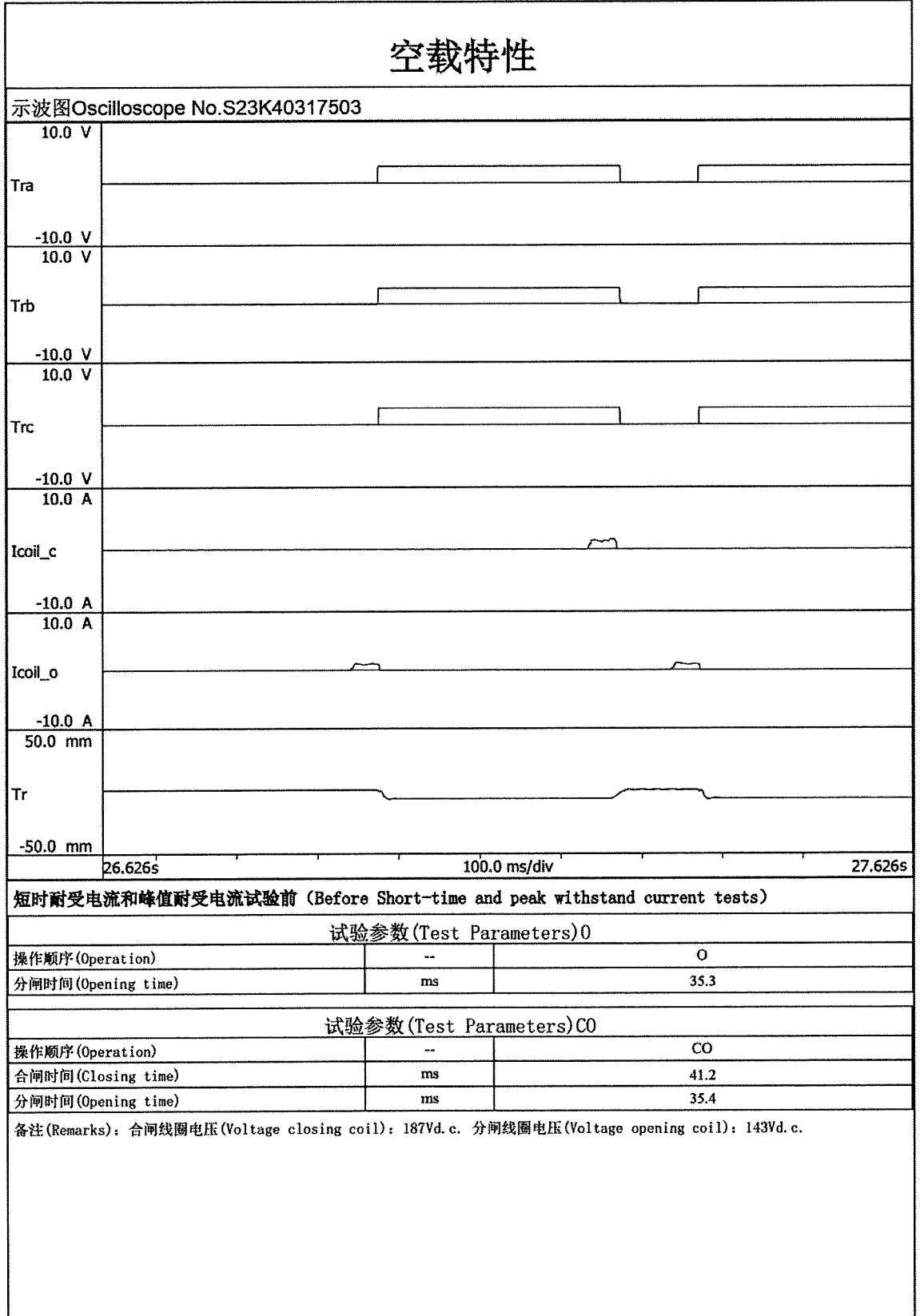
空载特性波形

额定操作电压下:



空载特性波形

最低操作电压下:



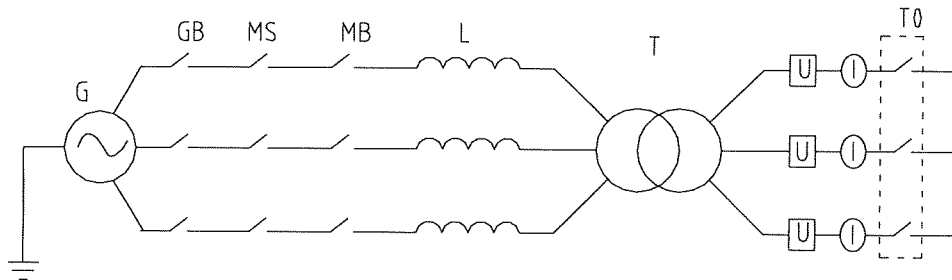
短时耐受电流和峰值耐受电流试验（主回路及接地装置）

试验日期: 2023-03-14

试验前试品状态: 新试品

主回路试验时, 试验回路从试品母线室侧进线, 经过断路器, 在接地开关汇流处三相短接。

试验回路示意图:



G : 短路发电机 (Generator)

L : 调节电抗 (Reactor)

T0 : 试品 (Test Object)

GB : 保护开关 (Generator Breaker)

MB : 操作开关 (Master Breaker)

U : 电压测量 (Voltage Measurement)

MS : 合闸开关 (Make Switch)

I : 电流测量 (Current Measurement)

T : 变压器 (Transformer)

短时耐受电流和峰值耐受电流试验（主回路及接地装置）

试验数据:

技术要求			A	B	C
试验电流（峰值）	kA	80.0 ^{+5%}	80.2	44.8	-74.3
试验电流（有效值）	kA	I: I _{Ave} ^{±10%}	31.5	31.6	31.6
		I _{Ave} : 31.5 ^{+5%}	31.6		
试验频率	Hz	50 ^{±10%}	50.0		
焦耳积分	MA ² s	3969 ^{+10%}	4022	4053	4056
电流持续时间	ms	4000	4041	4047	4047
示波图编号			S23K40317001		

试验后样品状态:

试验时，试品未出现电弧喷射或触头分离现象。

试验后，断路器第一次操作时，能够顺利分闸。

试验后，接地开关在第一次操作时，能够顺利手动分闸，操作力 116N（≤300N）。

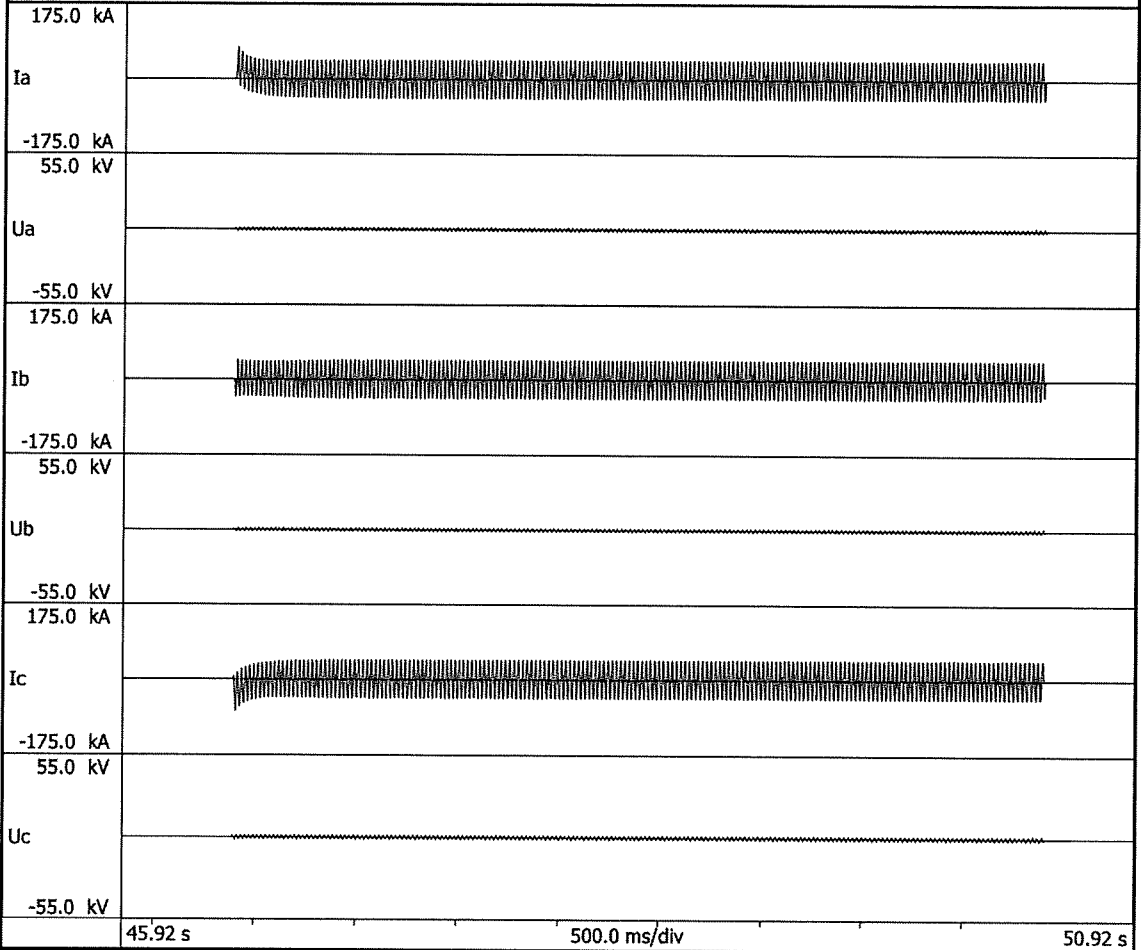
试品位置指示器显示分闸位置信号。

试品无异常。

试验结果: 符合

短时耐受电流和峰值耐受电流试验(主回路及接地装置)

示波图Oscilloscope No.S23K40317001



试验参数 (Test Parameters)

相 (Phase)	-	A	B	C
电流峰值 (Current, peak)	kA	80.2	44.8	-74.3
电流有效值 (Current value, r. m. s.)	kA	31.5	31.6	31.6
电流平均值 (Average current, r. m. s.)	kA		31.6	
焦耳积分 (Joule integral)	MA ² s	4022	4053	4056
电流持续时间 (Current duration)	ms	4041	4047	4047

备注 (Remark):

空载特性

试验日期: 2023-03-14

试品状态: 未检修

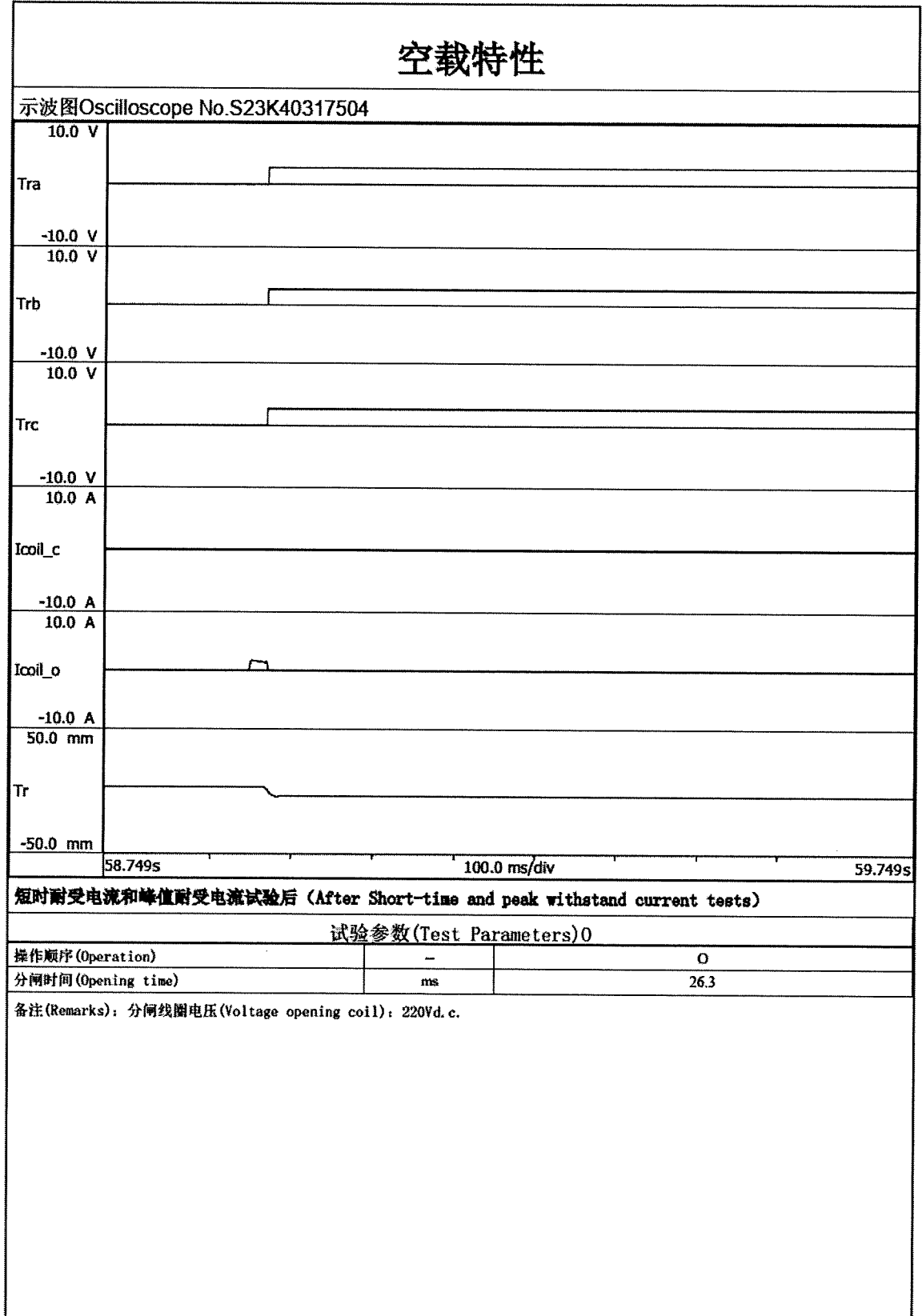
短时耐受电流和峰值耐受电流试验后

操作电压 DC (V)		分闸时间 (ms)	示波图编号
/	分闸 (O)	20~60	
额定	220	26.3	S23K40317504

试验结果: 符合

空载特性波形

额定操作电压下:



回路电阻的测量

试验日期: 2023-03-14

1、 试验方法: 采用回路电阻测试仪测量电阻

试验电流: 100A (DC)

2、 试验数据:

短时耐受电流和峰值耐受电流试验后

测试部位: 主回路、断路器

环境温度: 16.4 °C校正温度: 15.7 °C

测量部位		试验次数 (次)	试验电流平均值 (A)	测量电阻平均值 ($\mu\Omega$)	校正值 ($\mu\Omega$)	变化量 (%)
主回路	A 相	3	100.5	83.2	83.0	1.10
	B 相		100.5	78.3	78.1	0.77
	C 相		100.5	80.0	79.8	1.27
断路器	A 相	3	100.5	32.3	32.2	0.94
	B 相		100.5	31.7	31.6	1.61
	C 相		100.5	33.1	33.0	0.92

试验后, 测得回路电阻变化量小于 20%。

备注: “变化量” 为校正值与短时耐受电流和峰值耐受电流试验前测量值比较的结果。

试验结果: 符合

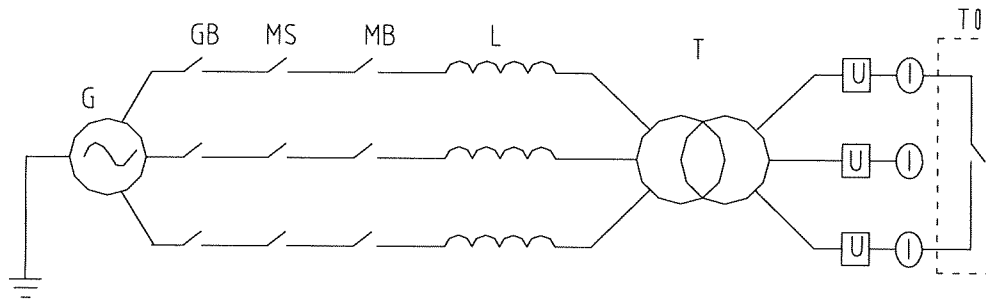
短时耐受电流和峰值耐受电流试验（接地回路）

试验日期: 2023-03-14

试验前试品状态: 未检修

试验回路 A 相连接试品电缆室 A 相, 由试品 A 相进线, 经过接地开关, 由试品接地母线返回试验回路 C 相。

试验回路示意图:



G : 短路发电机 (Generator)

L : 调节电抗 (Reactor)

T0 : 试品 (Test Object)

GB : 保护开关 (Generator Breaker) MB : 操作开关 (Master Breaker)

U : 电压测量 (Voltage Measurement)

MS : 合闸开关 (Make Switch)

I : 电流测量 (Current Measurement)

T : 变压器 (Transformer)

短时耐受电流和峰值耐受电流试验（接地回路）

试验数据:

技术要求			
试验频率	Hz	$50^{+10\%}$	50.0
试验电流（峰值）	kA	$69.6^{+5\%}$	70.0
试验电流（有效值）	kA	$27.4^{+5\%}$	27.7
焦耳积分	MA^2s	$1501^{+10\%}$	1556
电流持续时间	ms	2000	2019
示波图编号			S23K40317002

试验后样品状态:

试验时, 试品未出现电弧喷射或触头分离现象。

试验后, 接地回路连续性保持完整。

试验后, 接地开关在第一次操作时, 能够顺利手动分闸, 操作力 118N ($\leq 300\text{N}$)。

试品位置指示器显示分闸位置信号。

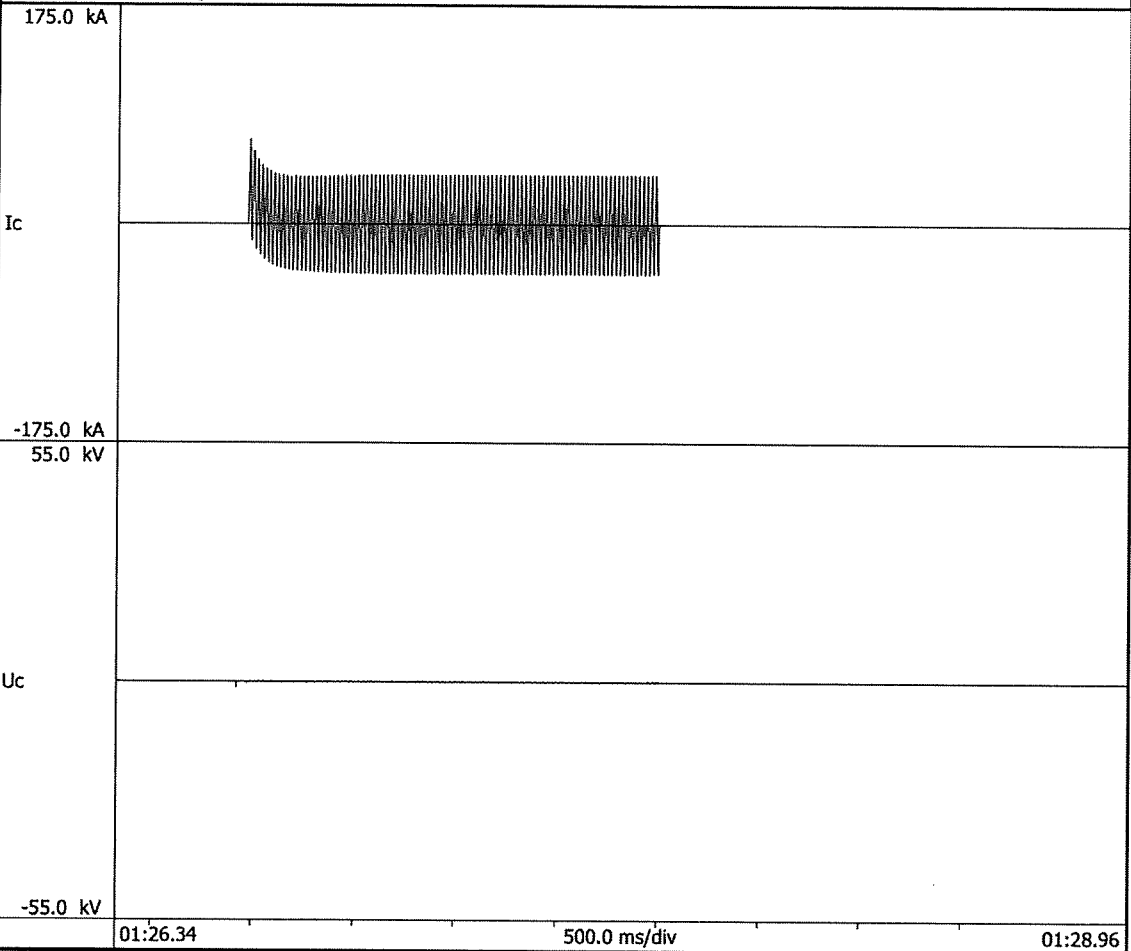
使用通断表测量, 试品处于分闸状态。

试品无异常。

试验结果: 符合

短时耐受电流和峰值耐受电流试验(接地回路)

示波图 Oscilloscope No.S23K40317002



试验参数 (Test Parameters)

相 (Phase)	--	A	B	C
电流峰值 (Current, peak)	kA	/	/	70.0
电流有效值 (Current value, r. m. s.)	kA	/	/	27.7
焦耳积分 (Joule integral)	MA ² s	/	/	1556
电流持续时间 (Current duration)	ms	/	/	2019

备注 (Remark):

回路电阻的测量

试验日期: 2023-03-15

1、 试验方法: 采用回路电阻测试仪测量电阻

试验电流: 100A (DC)

2、 试验数据:

关合和开断能力的验证试验前

测试部位: 主回路、断路器

环境温度: 15.6 °C

测量部位		试验次数 (次)	要求值 ($\mu\Omega$)	试验电流平均值 (A)	测量电阻平均值 ($\mu\Omega$)
主回路	A 相	3	≤ 150	100.5	82.9
	B 相			100.5	78.0
	C 相			100.5	79.7
断路器	A 相	3	≤ 60	100.5	32.2
	B 相			100.5	31.6
	C 相			100.5	33.0

试验结果: 符合

关合和开断能力的验证 (T100s)

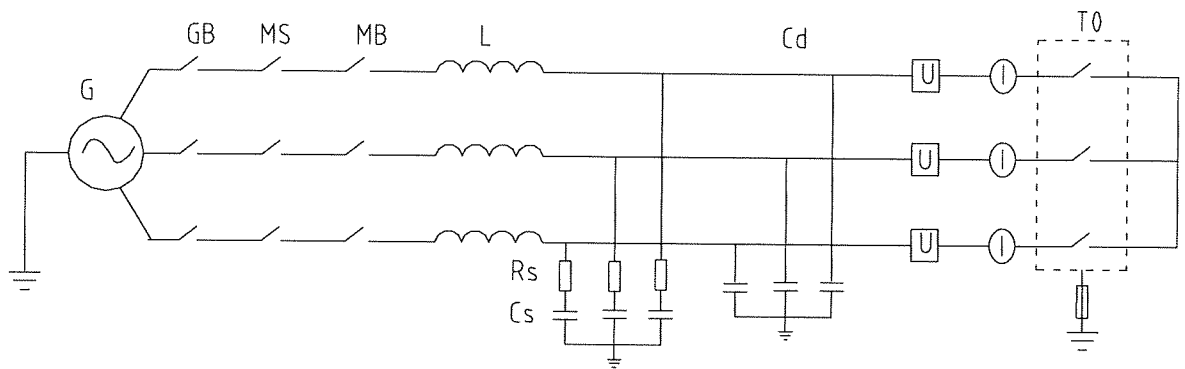
试验日期: 2023-03-15

试验前试品状态: 未检修

试验回路从母线室侧进线, 在电缆室出线端三相短接。

试品外壳仅通过 0.1mm, 长度为 5cm 的铜丝构成的熔断器接地。

试验回路示意图:



G : 短路发电机 (Generator)

L : 调节电抗 (Reactor)

T0 : 试品 (Test Object)

GB : 保护开关 (Generator Breaker) MB : 操作开关 (Master Breaker)

U : 电压测量 (Voltage Measurement)

MS : 合闸开关 (Make Switch)

I : 电流测量 (Current Measurement)

Cd : 电容 (Capacitor)

关合和开断能力的验证 (T100s)

试验数据:

操作方式			O		
技术要求			A/AB	B/BC	C/CA
开断电流	kA	$31.5^{+5\%}$	31.8	31.7	31.8
直流分量	%	≤ 20	0.92	2.93	2.04
相: 工频恢复电压	kV	$(12/\sqrt{3})^{\pm 5\%}$	6.70	6.64	6.71
线: 工频恢复电压	kV	$12.0^{\pm 5\%}$	11.6	11.5	11.6
TRV 峰值	kV	20.6	24.7	-20.8	20.8
燃弧时间	ms	/	7.92	7.92	2.82
分闸时间	ms	/	35.4		
示波图编号			S23K40317601		

操作方式			CO		
间隔时间	s		0.3		
技术要求			A/AB	B/BC	C/CA
关合电流峰值	kA	$80.0^{+10\%}$	-55.3	-74.7	81.2
开断电流	kA	$31.5^{+5\%}$	31.8	31.9	31.8
直流分量	%	≤ 20	0.05	1.94	1.92
相: 试验电压	kV	$(12/\sqrt{3})^{+10\%}$	7.04	7.04	7.04
线: 试验电压	kV	$12.0^{+10\%}$	12.2	12.2	12.2
相: 工频恢复电压	kV	$(12/\sqrt{3})^{\pm 5\%}$	6.82	6.81	6.71
线: 工频恢复电压	kV	$12.0^{\pm 5\%}$	11.8	11.8	11.6
TRV 峰值	kV	20.6	25.6	-21.0	21.0
燃弧时间	ms	/	8.25	8.25	3.10
关合时间	ms	/	42.4		
分闸时间	ms	/	34.9		
示波图编号			S23K40317602		

关合和开断能力的验证 (T100s)

操作方式			CO		
间隔时间	s		180		
技术要求			A/AB	B/BC	C/CA
关合电流峰值	kA	$80.0^{+10\%}$	-48.0	-76.8	81.0
开断电流	kA	$31.5^{+5\%}$	31.6	31.7	31.7
直流分量	%	≤ 20	0.20	1.95	1.72
相: 试验电压	kV	$(12/\sqrt{3})^{+10\%}$	7.00	6.99	7.03
线: 试验电压	kV	$12.0^{+10\%}$	12.1	12.1	12.2
相: 工频恢复电压	kV	$(12/\sqrt{3})^{\pm 5\%}$	6.76	6.70	6.70
线: 工频恢复电压	kV	$12^{\pm 5\%}$	11.7	11.6	11.6
TRV 峰值	kV	20.6	21.1	-21.1	-24.7
燃弧时间	ms	/	7.62	2.75	7.62
关合时间	ms	/	42.1		
分闸时间	ms	/	35.2		
示波图编号			S23K40317603		

合闸线圈电压: DC187V

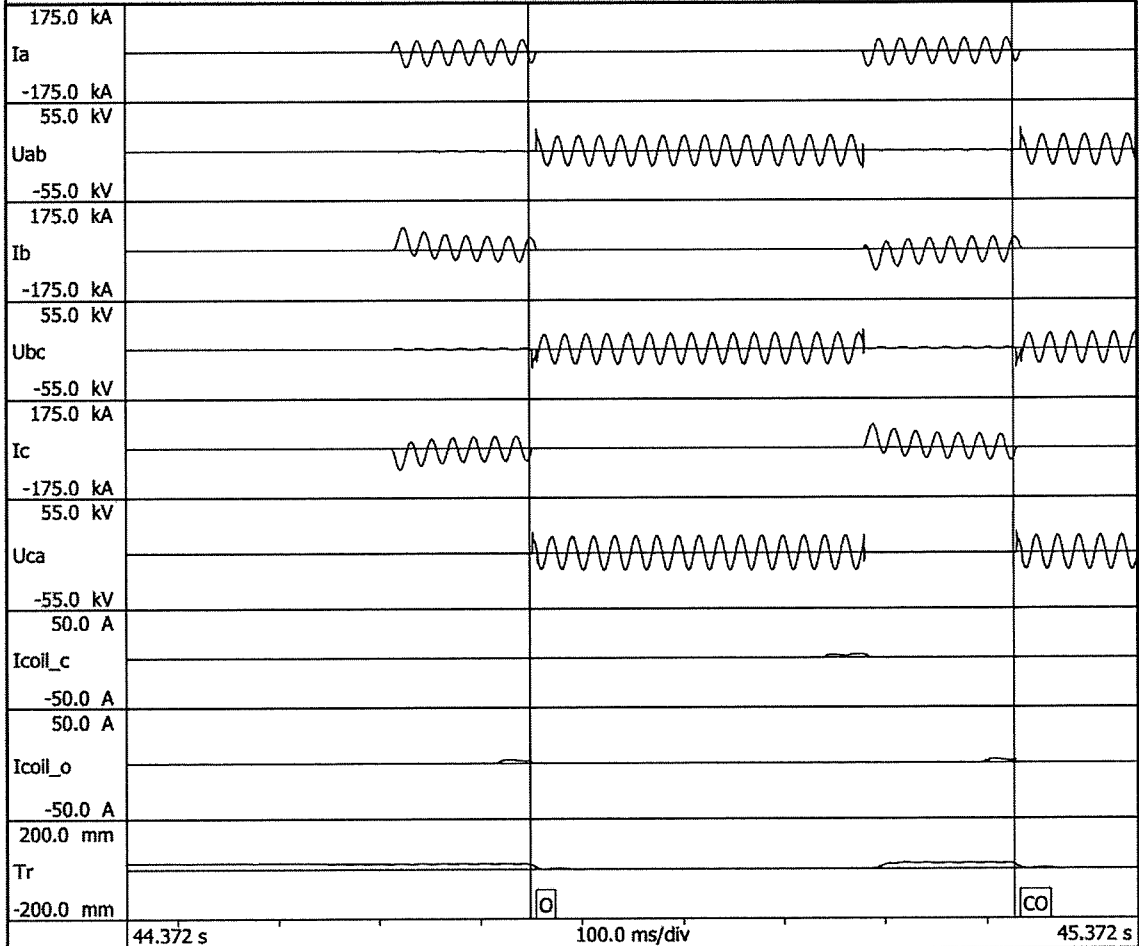
分闸线圈电压: DC143V

试验后样品状态: 试验样品开断正常, 无异常, 试验有效。

试验结果: 符合

基本短路试验方式T100s

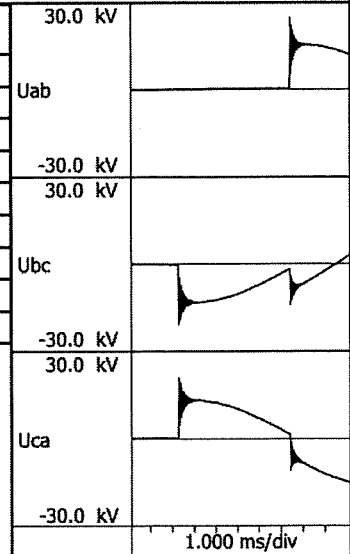
示波图Oscilloscope No. S23K40317601



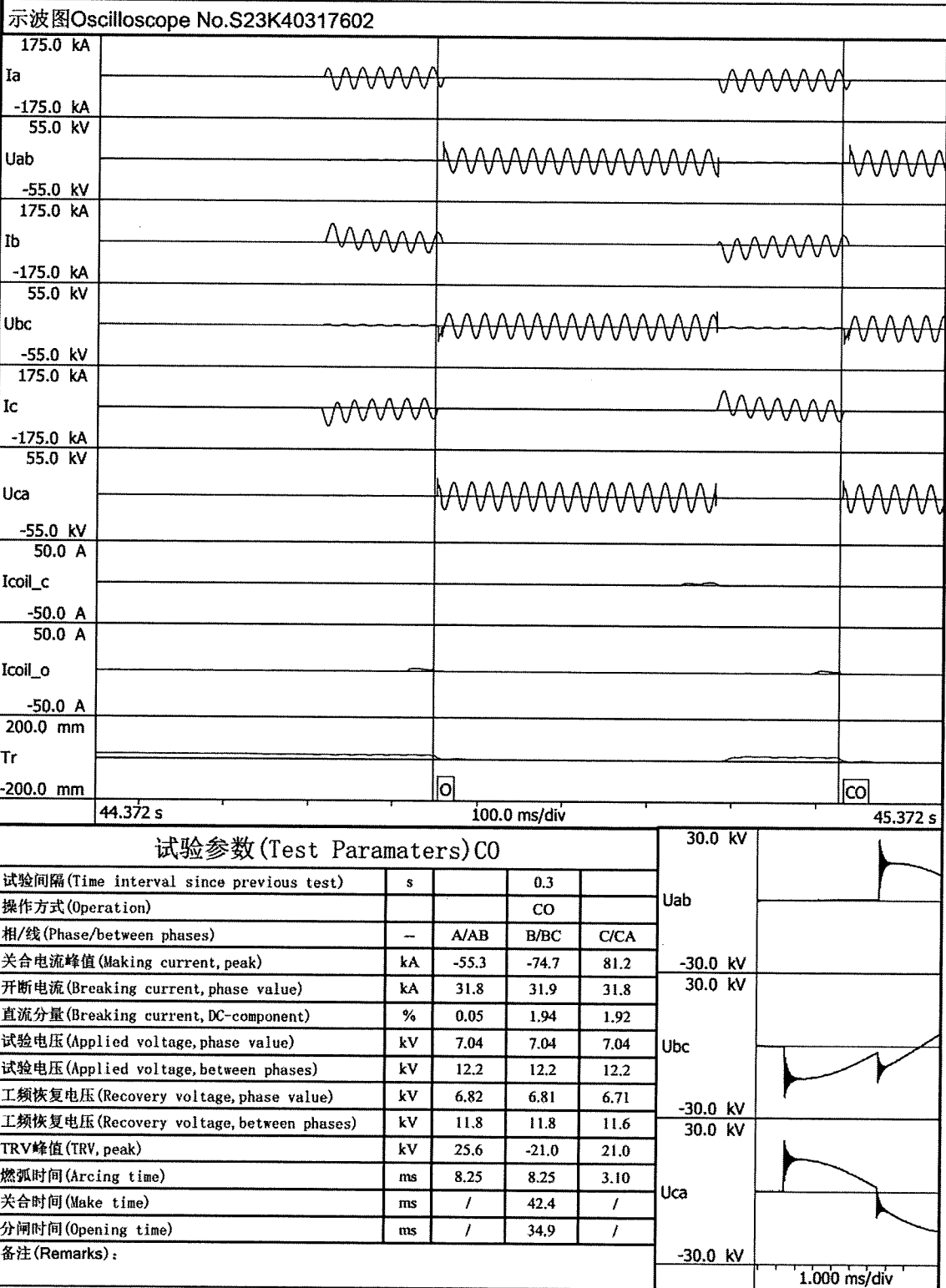
试验参数 (Test Parameters) 0

操作方式 (Operation)			O	
相/线 (Phase/between phases)	-	A/AB	B/BC	C/CA
开断电流 (Breaking current, phase value)	kA	31.8	31.7	31.8
直流分量 (Breaking current, DC-component)	%	0.92	2.93	2.04
工频恢复电压 (Recovery voltage, phase value)	kV	6.70	6.64	6.71
工频恢复电压 (Recovery voltage, between phases)	kV	11.6	11.5	11.6
TRV峰值 (TRV, peak)	kV	24.7	-20.8	20.8
燃弧时间 (Arcing time)	ms	7.92	7.92	2.82
分闸时间 (Opening time)	ms	/	35.4	/

备注 (Remarks):

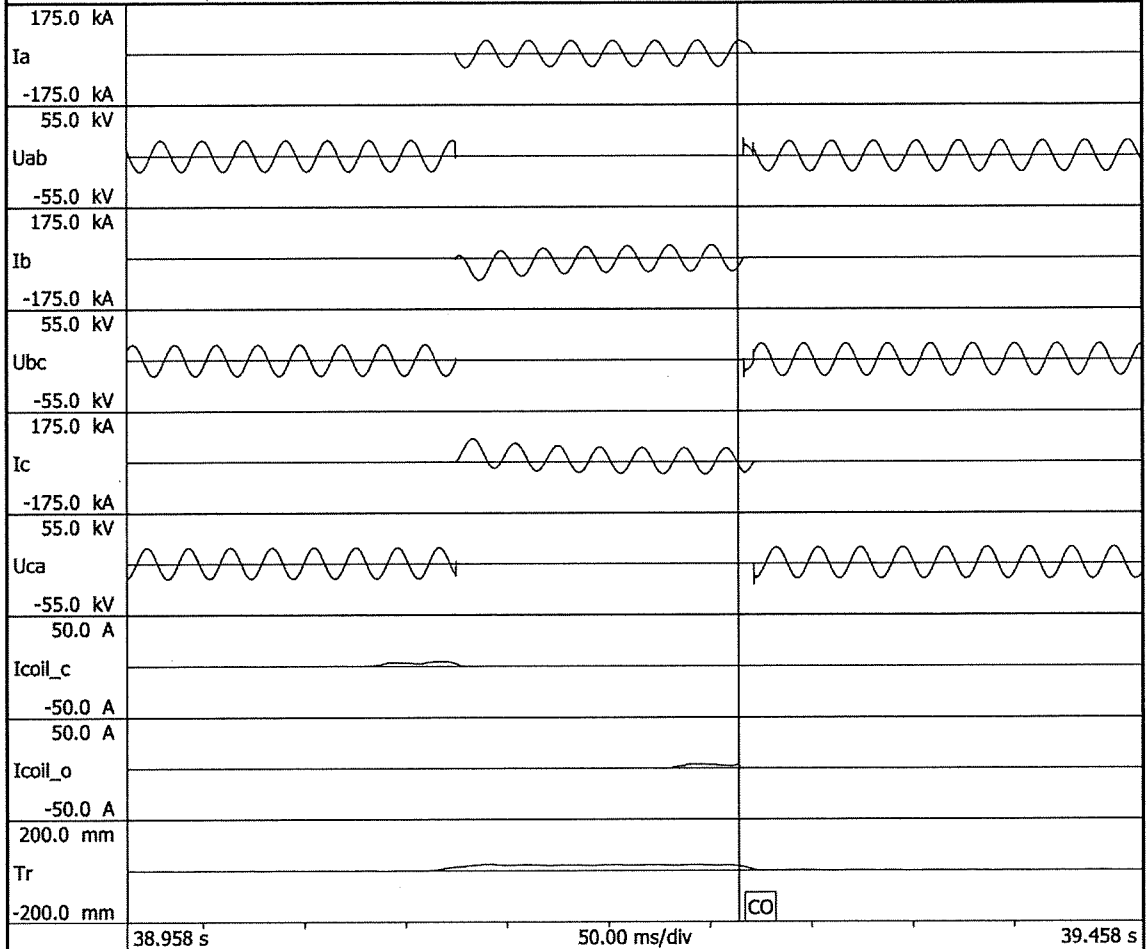


基本短路试验方式T100s



基本短路试验方式T100s

示波图 Oscilloscope No.S23K40317603



试验参数 (Test Parameters) CO

试验间隔 (Time interval since previous test)	s	180			30.0 kV	Uab
操作方式 (Operation)		CO				
相/线 (Phase/between phases)	--	A/AB	B/BC	C/CA	-30.0 kV	
关合电流峰值 (Making current, peak)	kA	-48.0	-76.8	81.0	30.0 kV	
开断电流 (Breaking current, phase value)	kA	31.6	31.7	31.7		
直流分量 (Breaking current, DC-component)	%	0.20	1.95	1.72		
试验电压 (Applied voltage, phase value)	kV	7.00	6.99	7.03		
试验电压 (Applied voltage, between phases)	kV	12.1	12.1	12.2		
工频恢复电压 (Recovery voltage, phase value)	kV	6.76	6.70	6.70	-30.0 kV	
工频恢复电压 (Recovery voltage, between phases)	kV	11.7	11.6	11.6	30.0 kV	
TRV峰值 (TRV, peak)	kV	21.1	-21.1	-24.7		
燃弧时间 (Arcing time)	ms	7.62	2.75	7.62		
关合时间 (Make time)	ms	/	42.1	/		
分闸时间 (Opening time)	ms	/	35.2	/		
备注 (Remarks):					-30.0 kV	

1.000 ms/div

关合和开断能力的验证 (T100a)

试验日期: 2023-03-15

试验前试品状态: 未检修

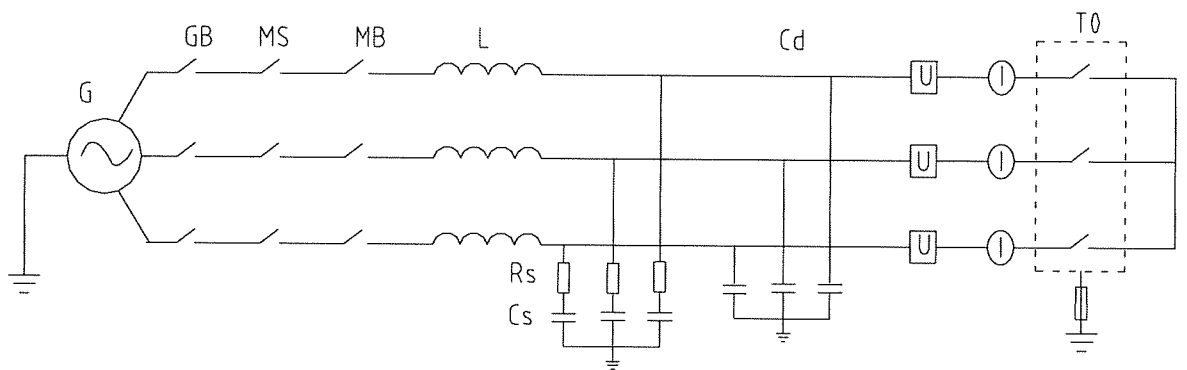
试验回路从试品电缆室侧进线, 在试品母线室出线端三相短接。

试品外壳仅通过 0.1mm, 长度为 5cm 的铜丝构成的熔断器接地。

依据 GB/T 1984-2014 表 15: 电流最后半波峰值为: 59.2 kA

电流最后半波持续时间为: 12.0 ms

试验回路示意图:



G : 短路发电机 (Generator)

L : 调节电抗 (Reactor)

T0 : 试品 (Test Object)

GB : 保护开关 (Generator Breaker) MB : 操作开关 (Master Breaker)

U : 电压测量 (Voltage Measurement)

MS : 合闸开关 (Make Switch)

I : 电流测量 (Current Measurement)

Cd : 电容 (Capacitor)

关合和开断能力的验证 (T100a)

试验数据:

操作方式			O (第一次)		
技术要求			A/AB	B/BC	C/CA
开断电流	kA	31.5 ^{±10%}	31.7	31.9	31.8
电流最后半波峰值	kA	59.2 ^①	-58.9	-37.2	51.4
最后半波持续时间	ms	12.0 ^①	13.2	8.34	12.5
相: 工频恢复电压	kV	$(12/\sqrt{3})^{±5\%}$	6.81	6.75	6.70
线: 工频恢复电压	kV	12.0 ^{±5%}	11.8	11.7	11.6
TRV 峰值	kV	20.6	21.0	25.2	-21.0
燃弧时间	ms	/	4.95	9.31	9.31
分闸时间	ms	/	24.3		
示波图编号			S23K40317604		

操作方式			O (第二次)		
技术要求			A/AB	B/BC	C/CA
开断电流	kA	31.5 ^{±10%}	31.8	31.9	31.8
电流最后半波峰值	kA	59.2 ^①	-51.5	61.3	-49.2
最后半波持续时间	ms	12.0 ^①	10.9	14.6	11.3
相: 工频恢复电压	kV	$(12/\sqrt{3})^{±5\%}$	6.75	6.81	6.76
线: 工频恢复电压	kV	12.0 ^{±5%}	11.7	11.8	11.7
TRV 峰值	kV	20.6	25.4	-21.1	21.1
燃弧时间	ms	/	10.9	10.9	5.05
分闸时间	ms	/	24.5		
示波图编号			S23K40317605		

关合和开断能力的验证 (T100a)

操作方式			O (第三次)		
相/线			A/AB	B/BC	C/CA
开断电流	kA	31.5 ^{±10%}	31.9	32.1	31.9
电流最后半波峰值	kA	59.2 ^①	41.8	49.6	-55.9
最后半波持续时间	ms	12.0 ^①	10.9	10.3	14.7
相: 工频恢复电压	kV	$(12/\sqrt{3})^{±5\%}$	6.87	6.81	6.87
线: 工频恢复电压	kV	12.0 ^{±5%}	11.9	11.8	11.9
TRV 峰值	kV	20.6	-21.4	-24.8	21.4
燃弧时间	ms	/	4.32	10.7	10.7
分闸时间	ms	/	24.3		
示波图编号			S23K40317606		

注: ①开断前的最后半波的短路电流峰值在要求值的 90%和 110%之间, 开断前的短路电流半波的持续时间在要求值的 90%和 110%之间, 或者, 如果上述偏差不能满足: 乘积 “I×t” 在要求值的 81%和 121%之间。

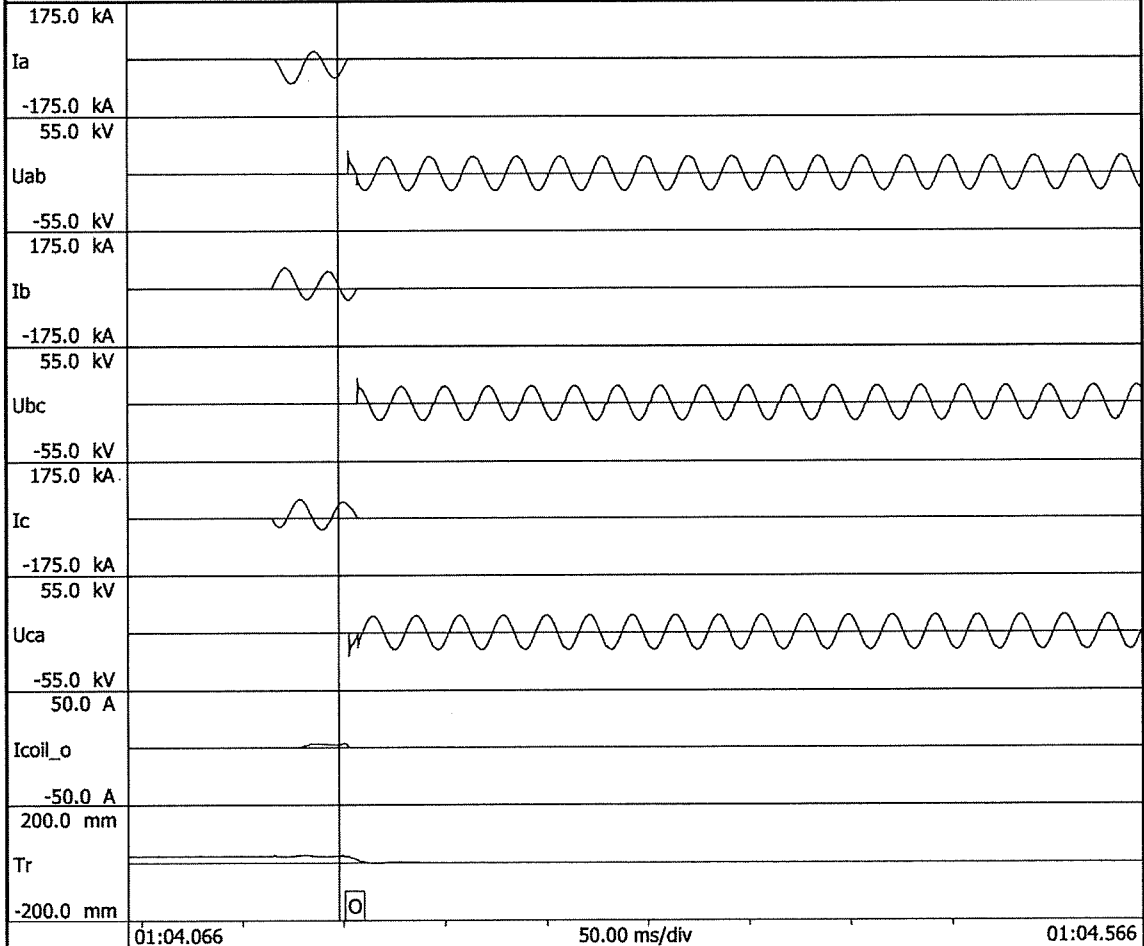
分闸线圈电压: DC242V

试验后样品状态: 试验样品开断正常, 无异常, 试验有效。

试验结果: 符合

基本短路试验方式T100a

示波图 Oscilloscope No.S23K40317604



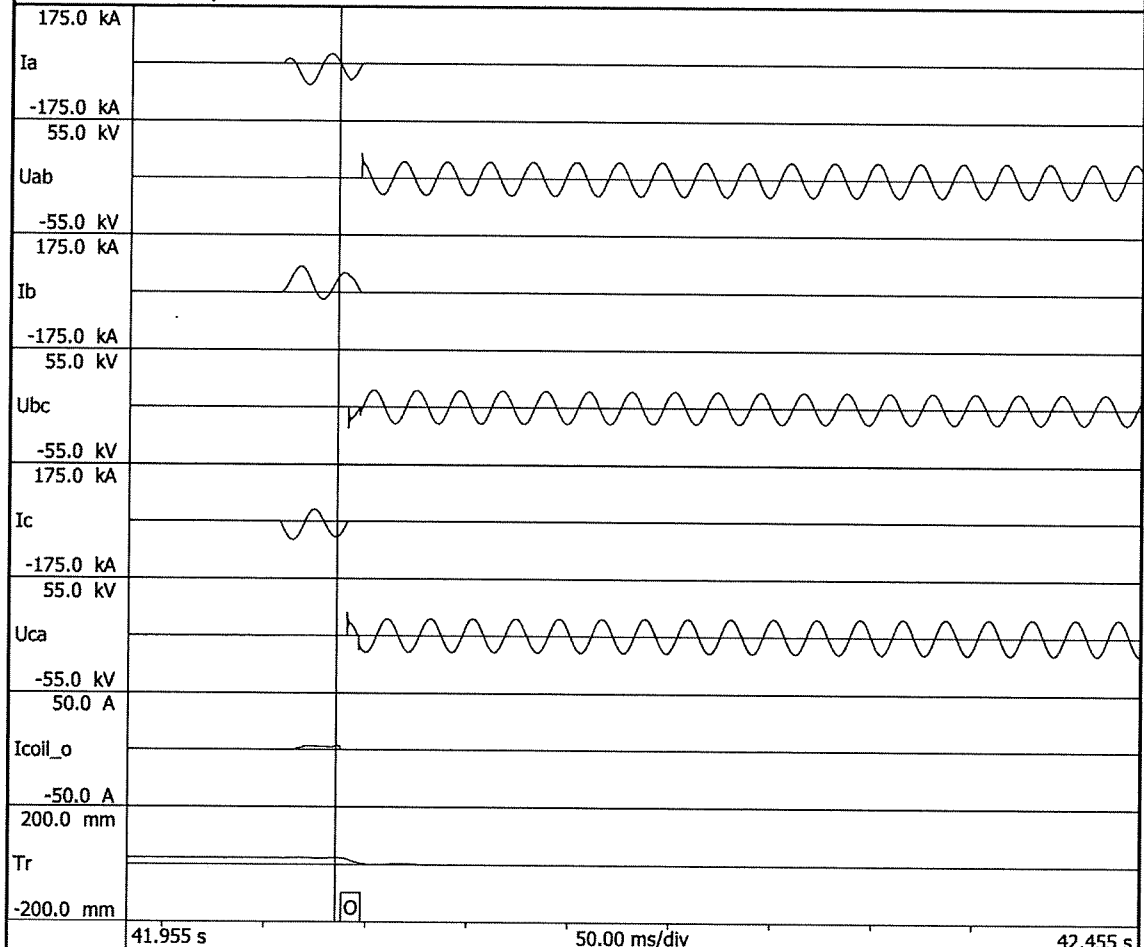
试验参数 (Test Parameters) 0

操作方式 (Operation)	O						
相/线 (Phase/between phases)	--	A/AB	B/BC	C/CA	Uab	30.0 kV	
开断电流 (Breaking current, phase value)	kA	31.7	31.9	31.8			
电流最后半波峰值 (Current last loop, peak)	kA	-58.9	-37.2	51.4	Ubc	-30.0 kV	
最后半波持续时间 (Duration last loop)	ms	13.2	8.34	12.5			
工频恢复电压 (Recovery voltage, phase value)	kV	6.81	6.75	6.70	Uca	30.0 kV	
工频恢复电压 (Recovery voltage, between phases)	kV	11.8	11.7	11.6			
TRV峰值 (TRV, peak)	kV	21.0	25.2	-21.0		-30.0 kV	
燃弧时间 (Arcing time)	ms	4.95	9.31	9.31			
分闸时间 (Opening time)	ms	/	24.3	/			
备注 (Remarks):							

1.000 ms/div

基本短路试验方式T100a

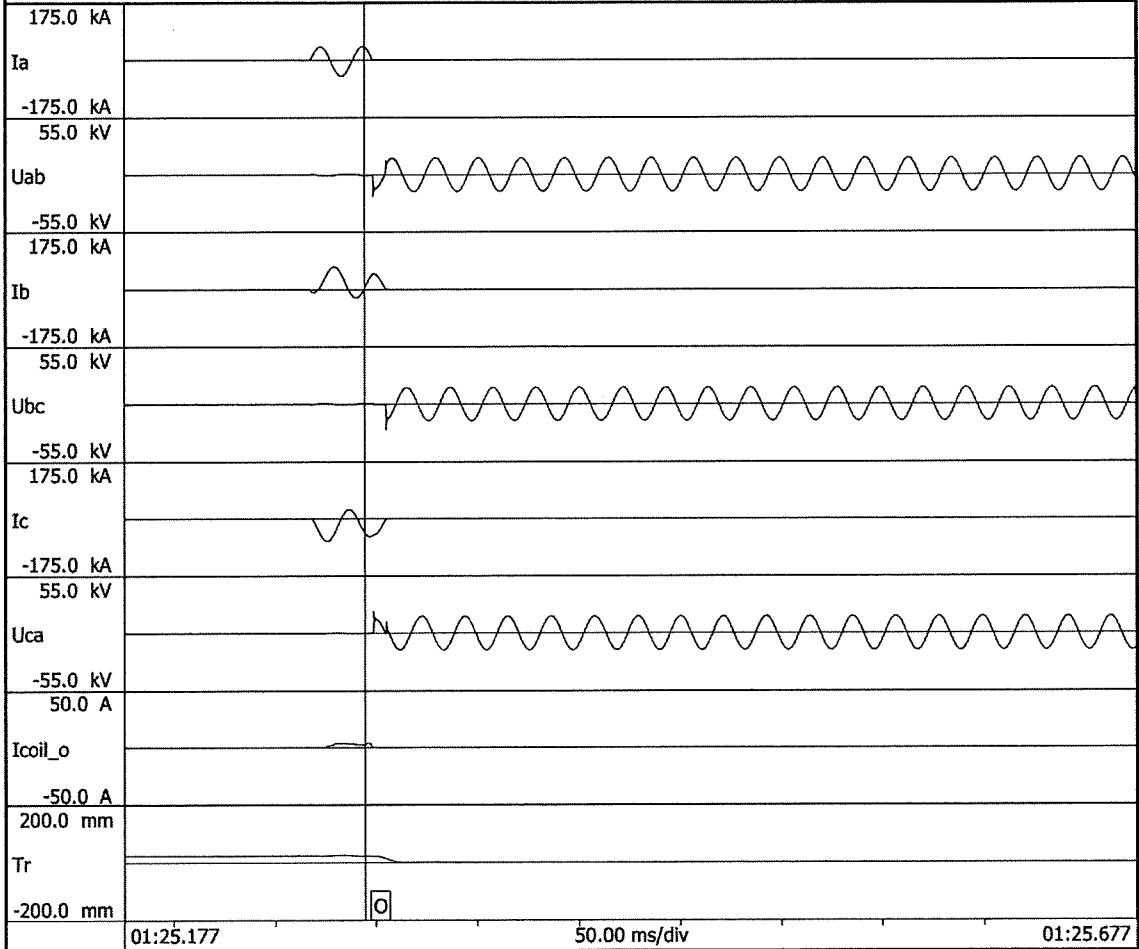
示波图 Oscilloscope No.S23K40317605



试验参数 (Test Parameters) 0								
操作方式 (Operation)			0		<div style="display: flex; flex-direction: column; align-items: center;"> <div style="display: flex; align-items: center; margin-bottom: 5px;"> Uab </div> <div style="display: flex; align-items: center; margin-bottom: 5px;"> Ubc </div> <div style="display: flex; align-items: center;"> Uca </div> </div>			
相/线 (Phase/between phases)	-	A/AB	B/BC	C/CA				
开断电流 (Breaking current, phase value)	kA	31.8	31.9	31.8				
电流最后半波峰值 (Current last loop, peak)	kA	-51.5	61.3	-49.2				
最后半波持续时间 (Duration last loop)	ms	10.9	14.6	11.3				
工频恢复电压 (Recovery voltage, phase value)	kV	6.75	6.81	6.76				
工频恢复电压 (Recovery voltage, between phases)	kV	11.7	11.8	11.7				
TRV峰值 (TRV, peak)	kV	25.4	-21.1	21.1				
燃弧时间 (Arcing time)	ms	10.9	10.9	5.05				
分闸时间 (Opening time)	ms	/	24.5	/				
备注 (Remarks):								

基本短路试验方式T100a

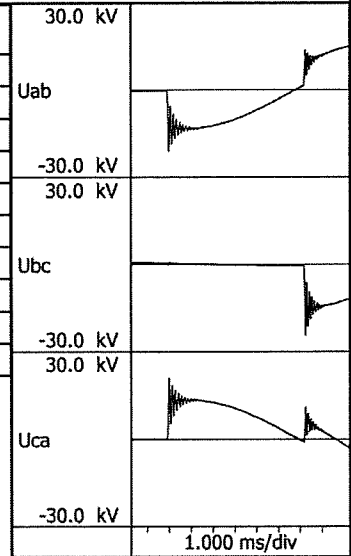
示波图Oscilloscope No.S23K40317606



试验参数 (Test Parameters) 0

操作方式 (Operation)			O	
相/线 (Phase/between phases)	--	A/AB	B/BC	C/CA
开断电流 (Breaking current, phase value)	kA	31.9	32.1	31.9
电流最后半波峰值 (Current last loop, peak)	kA	41.8	49.6	-55.9
最后半波持续时间 (Duration last loop)	ms	10.9	10.3	14.7
工频恢复电压 (Recovery voltage, phase value)	kV	6.87	6.81	6.87
工频恢复电压 (Recovery voltage, between phases)	kV	11.9	11.8	11.9
TRV峰值 (TRV, peak)	kV	-21.4	-24.8	21.4
燃弧时间 (Arcing time)	ms	4.32	10.7	10.7
分闸时间 (Opening time)	ms	/	24.3	/

备注 (Remarks):



作为状态检查的电压试验

试验日期: 2023-03-16

试区大气条件: P=102.1kPa

t=15.5℃

RH=61.2%

关合和开断能力的验证后:

试验部位	加压部位	接地部位	应施电压 (kV)	实测电压 (kV)	加压时间 (min)	是否发生 破坏性放电
断路器	A	a	38.4 ^{±1%}	38.4	1	否
	a	A		38.4	1	否
	B	b		38.4	1	否
	b	B		38.5	1	否
	C	c		38.5	1	否
	c	C		38.4	1	否

试验结果: 符合

备注: A、B、C ——断路器断口一侧端子; a、b、c ——断路器断口另一侧端子。

空载特性

试验日期: 2023-03-15

关合和开断能力的验证试验后:

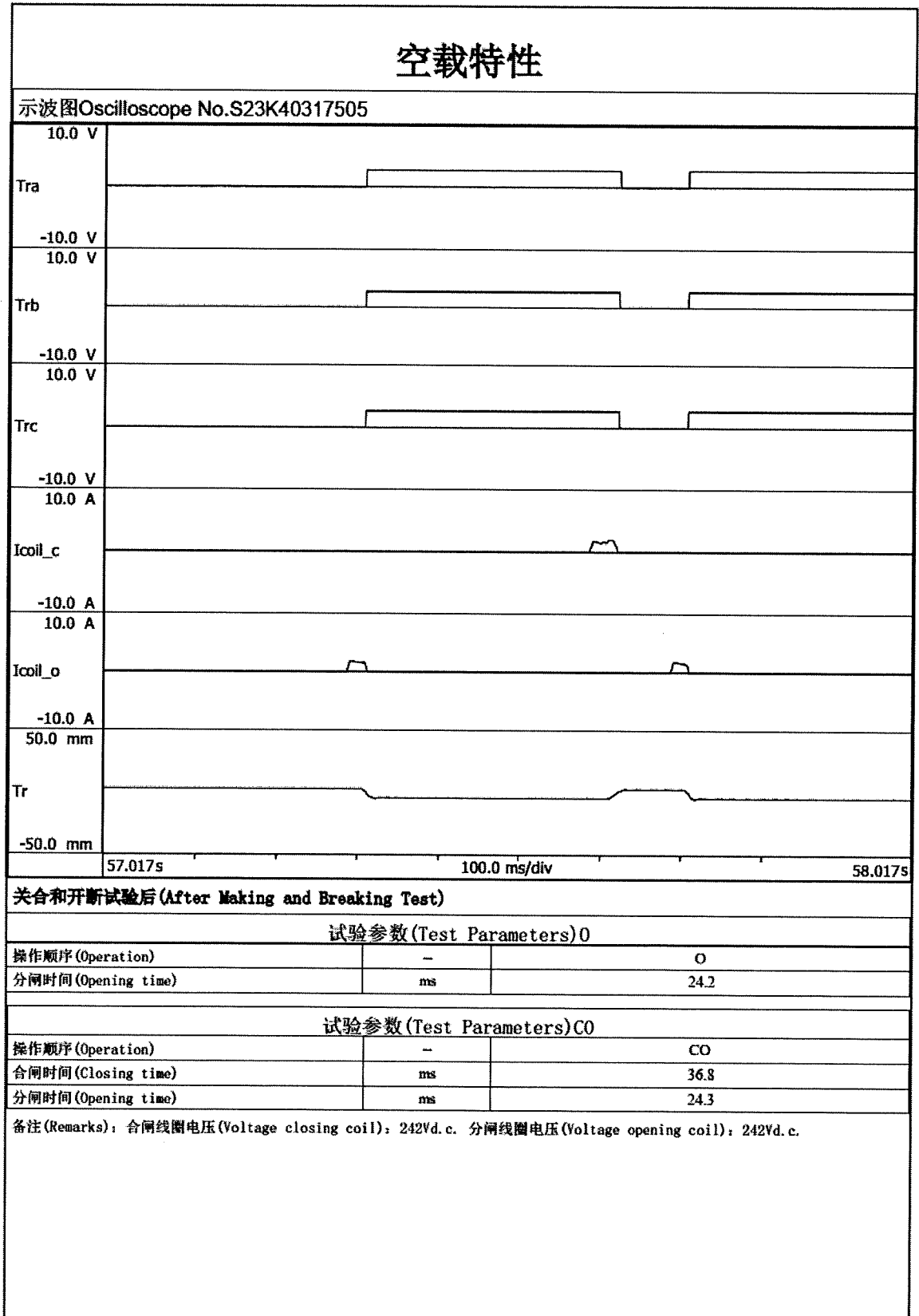
试验前试品状态: 未检修

操作电压 DC (V)			第一次分闸时间 (ms)	合闸时间 (ms)	第二次分闸时间 (ms)	示波图编号
/	合闸 (C)	分闸 (O)				
			20~60	30~100	20~60	
最高	242	242	24.2	36.8	24.3	S23K40317505
额定	220	220	26.0	38.7	26.1	S23K40317506
最低	187	143	35.3	41.5	35.4	S23K40317507

试验结果: 符合

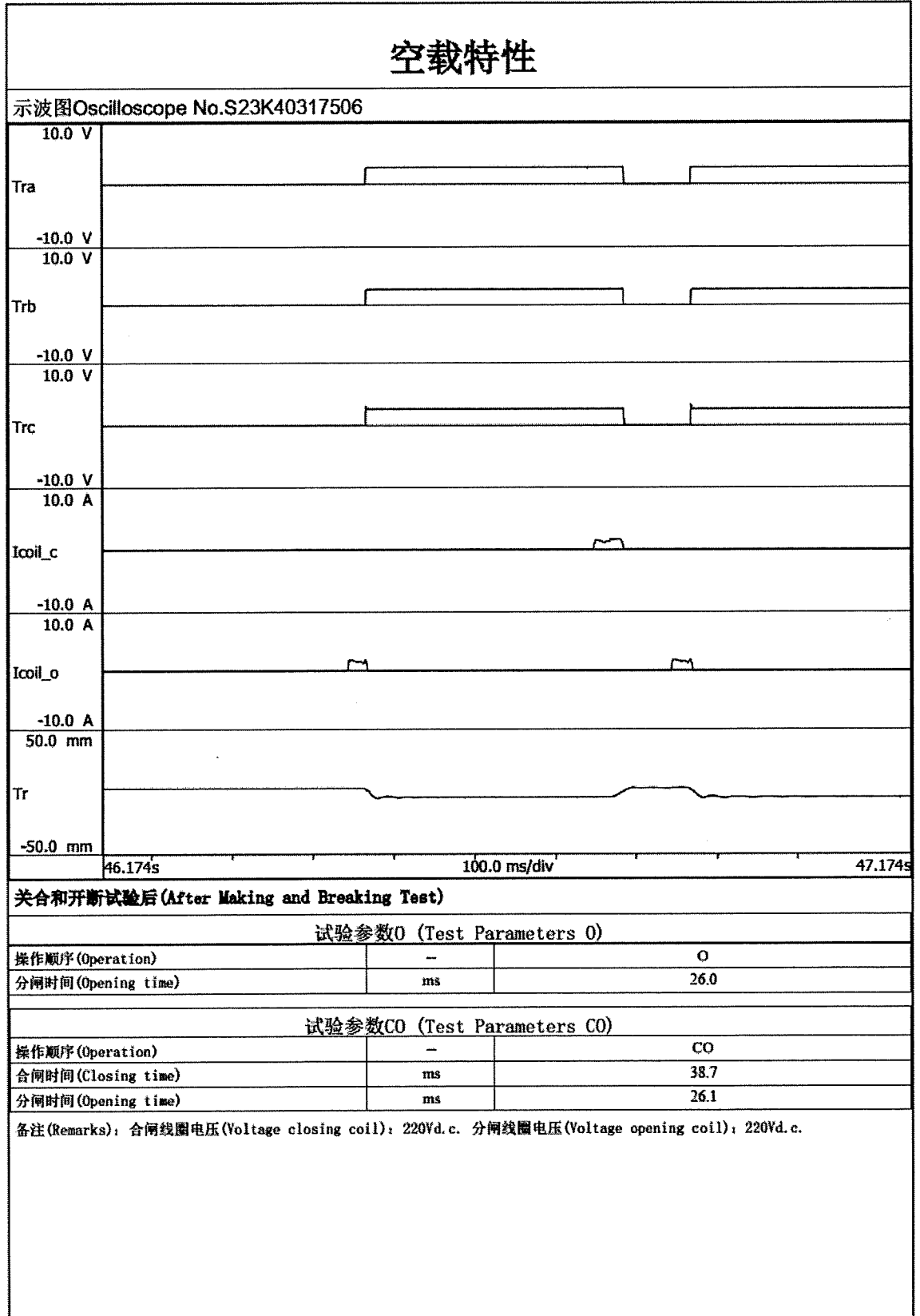
空载特性波形

最高操作电压下:



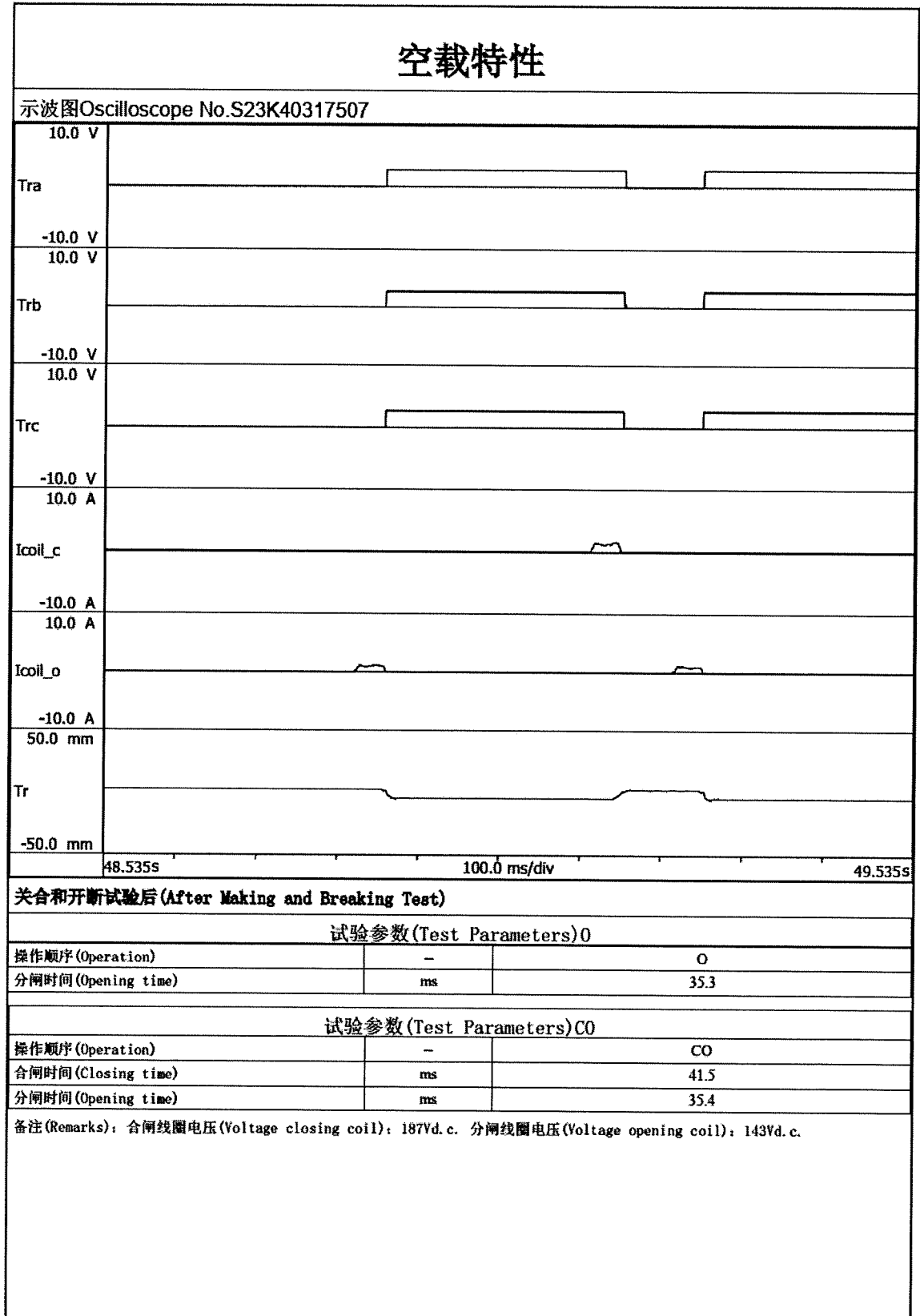
空载特性波形

额定操作电压下:



空载特性波形

最低操作电压下:



回路电阻的测量

试验日期: 2023-03-15

1、 试验方法: 采用回路电阻测试仪测量电阻

试验电流: 100A (DC)

2、 试验数据:

关合和开断能力的验证试验后

测试部位: 主回路、断路器

环境温度: 16.9 °C校正温度: 15.6 °C

测量部位		试验次数 (次)	试验电流平均值 (A)	测量电阻平均值 ($\mu\Omega$)	校正值 ($\mu\Omega$)	变化量 (%)
主回路	A 相	3	100.5	84.2	83.8	1.09
	B 相		100.5	79.0	78.6	0.77
	C 相		100.5	81.3	80.9	1.51
断路器	A 相	3	100.5	32.8	32.6	1.24
	B 相		100.5	32.1	31.9	0.95
	C 相		100.5	33.7	33.5	1.52

试验后, 测得回路电阻变化量小于 100%。

备注: “变化量” 为校正值与关合和开断能力的验证试验前测量值比较的结果。

试验结果: 符合

机械操作试验

试验日期: 2023-03-16

试验情况:

机械寿命试验前

断路器操动机构分合闸额定控制电压为: DC220V

断路器储能机构的额定电压为: DC220V

接地开关为人工操动机构

机械操作试验

试 验 项 目		试 验 情 况
断 路 器	额定操作电压下, 进行 5 次合—分操作循环	操作 5 次, 动作正常
	最低操作电压下, 进行 5 次合—分操作循环	操作 5 次, 动作正常
	最高操作电压下, 进行 5 次合—分操作循环	操作 5 次, 动作正常
	额定操作电压下, 进行 35 次合—分操作循环(配柜)	操作 35 次, 动作正常
接 地 开 关	配人工操动机构, 手动操作合分闸各 50 次(配柜)	操作 50 次, 动作正常
可 移 开 部 件	可移开部件进行 25 次插入和 25 次移开操作, 动作正常	各操作 25 次, 动作正常
	插入和移开部件所需要的力应小于第一次操作时所需要力的 150%	符合要求

试验结果: 符合

机械操作试验

试验日期: 2023-03-16

机械特性测量试验 (机械寿命试验前)

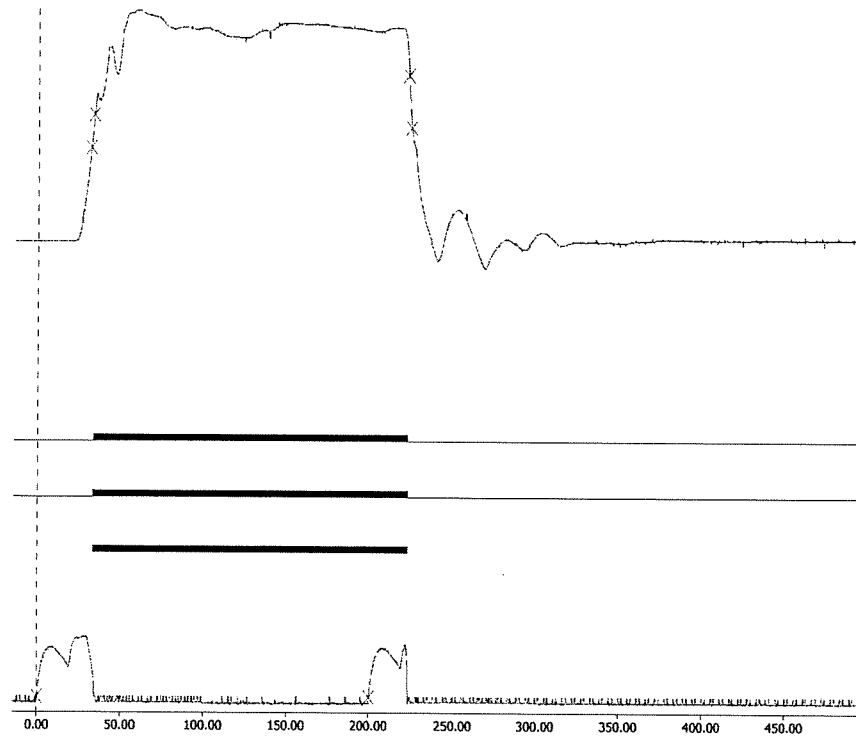
断路器机械特性:

序号	参数名称	单位	技术要求	操作电压	实测数据		
					A 相	B 相	C 相
1	开距	mm	9.0±1.0	/	9.1	9.1	9.1
2	接触行程	mm	3.5±0.5	/	3.5	3.5	3.5
3	相间中心距	mm	210±2.0	/	AB: 210		BC: 210
4	分闸时间	ms	20~60	最 高	24.0~24.9		
				额 定	25.7~26.6		
				最 低	35.1~36.0		
5	合闸时间	ms	30~100	最 高	35.5~36.4		
				额 定	38.4~39.3		
				最 低	41.5~42.4		
6	平均分闸速度	m/s	1.1~1.5	最 高	1.21~1.26		
				额 定	1.20~1.25		
				最 低	1.24~1.29		
7	平均合闸速度	m/s	0.6~1.0	最 高	0.71~0.76		
				额 定	0.70~0.75		
				最 低	0.73~0.78		
8	触头合闸 弹跳时间	ms	≤2	最 高	0.1~0.2		
				额 定	0.2~0.3		
				最 低	0.2~0.3		
9	合闸不同期性	ms	≤2	最 高	0.1~0.3		
				额 定	0.2~0.4		
				最 低	0.1~0.3		
10	分闸不同期性	ms	≤2	最 高	0.3~0.5		
				额 定	0.3~0.5		
				最 低	0.3~0.5		

试验结果: 符合

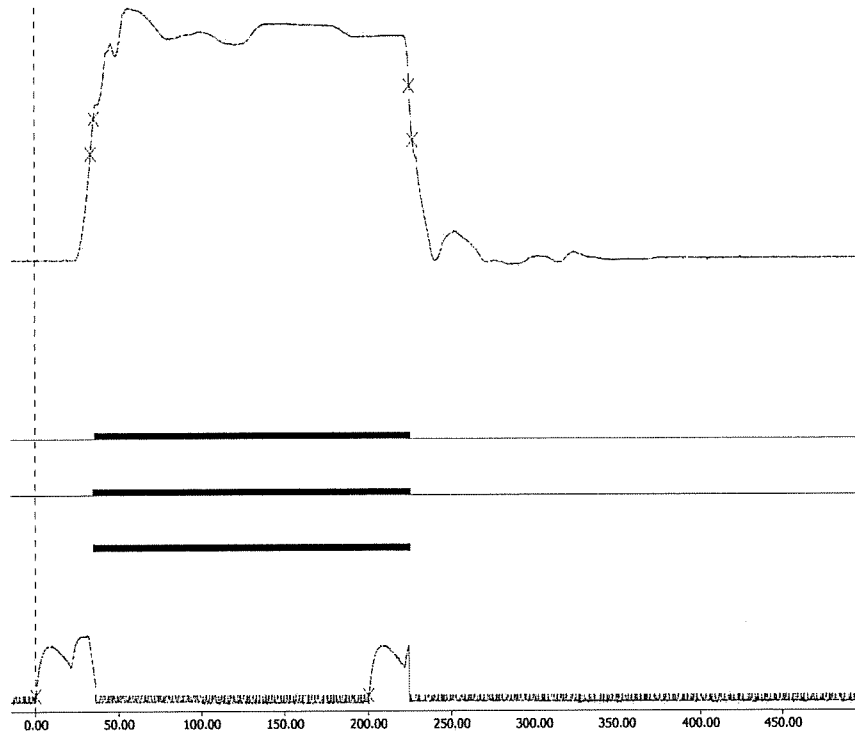
机械特性曲线

最高操作电压下:



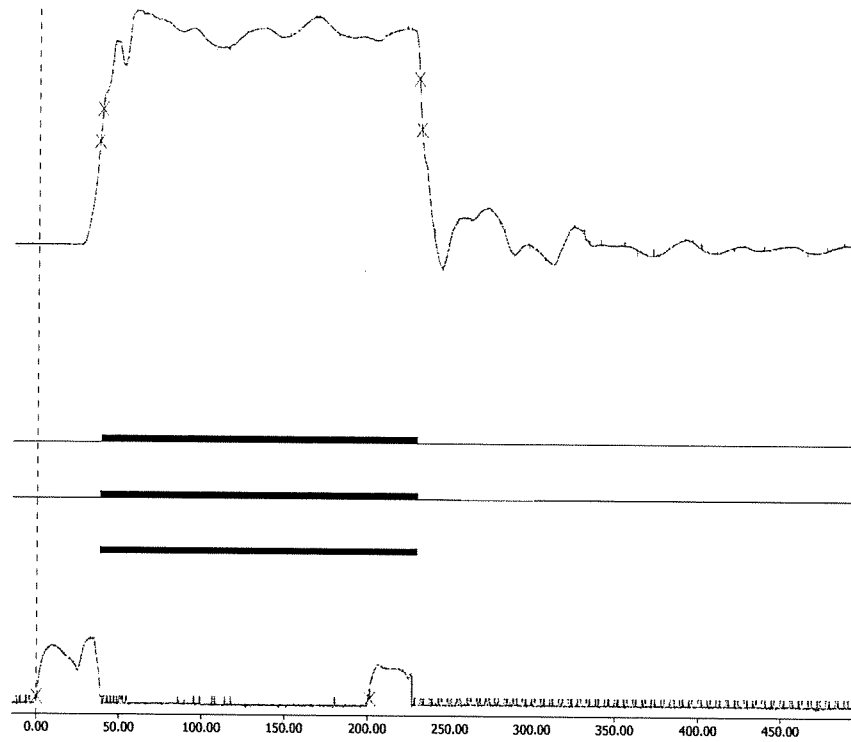
机械特性曲线

额定操作电压下:



机械特性曲线

最低操作电压下:



机械操作试验

试验日期: 2023-03-16

试验情况:

机械寿命试验前

接地开关为人工操动机构

接地开关机械特性:

序号	参数名称	单位	技术要求	实测数据		
				A:125	B:126	C:125
1	断口开距	mm	≥ 125	A:125	B:126	C:125
2	相间中心距	mm	210 ± 2.0	AB:210		BC:210
3	合闸不同期性	ms	≤ 2	0.7~1.0		
4	分闸不同期性	ms	≤ 2	0.8~1.1		
5	手力合闸操作力	N	≤ 250	117		
6	手力分闸操作力	N	≤ 250	112		

试验结果: 符合

回路电阻的测量

试验日期: 2023-03-16

1、 试验方法: 采用回路电阻测试仪测量电阻

试验电流: 100A (DC)

2、 试验数据:

机械寿命试验前

测试部位: 主回路、断路器

环境温度: 16.0 °C

测量部位		试验次数 (次)	要求值 ($\mu\Omega$)	试验电流平均值 (A)	测量电阻平均值 ($\mu\Omega$)
主回路	A 相	3	≤ 150	100.5	84.1
	B 相			100.5	78.7
	C 相			100.5	80.7
断路器	A 相	3	≤ 60	100.5	32.9
	B 相			100.5	32.1
	C 相			100.5	33.6

试验结果: 符合

机械操作试验

试验日期: 2023-03-17

机械寿命试验:

一、接地开关

试品安装方式: 配柜安装

试品操作联动极数 (极): 3

每一循环中试品不做调整和紧固: 满足

总操作次数: 1000 次

总操作次数划分循环数: 1 个

每个循环操作次数: 1000 次

每个循环中人力机构操作: 1000 次

试验情况:

- 1、对于每一个操作循环, 开关都完全达到合闸和分闸位置;
- 2、试验过程中未出现拒分、拒合、误合、误分现象以及影响产品正常运动的异常现象和故障;
- 3、所有零部件未出现对运动不利的影响。

二、可移开部件 (手车)

操作次数: 1000 次

可移开部件从工作位置抽出至移开位置再从移开位置推入到工作位置。施加正常操作力, 推入、抽出操作各 3000 次, 应动作正常, 隔离插头镀层应良好。

试验情况: 试中, 动作正常。试后, 隔离插头接触处镀层完好。

试验结果: 符合

回路电阻的测量

试验日期: 2023-03-17

1、 试验方法: 采用回路电阻测试仪测量电阻

试验电流: 100A (DC)

2、 试验数据:

机械寿命试验后

测试部位: 主回路、断路器

环境温度: 15.4 °C校正温度: 16.0 °C

测量部位		试验次数 (次)	试验电流平均值 (A)	测量电阻平均值 ($\mu\Omega$)	校正值 ($\mu\Omega$)	变化量 (%)
主回路	A 相	3	100.5	86.7	86.9	3.33
	B 相		100.5	80.9	81.1	3.05
	C 相		100.5	83.4	83.6	3.59
断路器	A 相	3	100.5	33.8	33.9	3.04
	B 相		100.5	33.0	33.1	3.12
	C 相		100.5	34.6	34.7	3.27

试验后, 测得回路电阻变化量小于 20%。

备注: “变化量” 为校正值与机械寿命试验前测量值比较结果。

试验结果: 符合

机械操作试验

试验日期: 2023-03-18

机械寿命试验后

接地开关为人工操动机构

试验项目		试验情况
接地开关	配人力操动机构, 手动操作合分闸各 50 次 (配柜)	操作 50 次, 动作正常
可移开部件	可移开部件进行 25 次插入和 25 次移开操作, 动作正常	各操作 25 次, 动作正常
	插入和移开部件所需要的力应小于第一次操作时所需要力的 150%	符合要求

试验结果: 符合

机械操作试验

试验日期: 2023-03-18

试验情况:

机械特性测量试验 (机械寿命试验后)

接地开关为人工操动机构

接地开关机械特性:

序号	参数名称	单位	技术要求	实测数据		
1	断口开距	mm	≥ 125	A:125	B:126	C:125
2	相间中心距	mm	210 ± 2.0	AB:210		BC:210
3	合闸不同期性	ms	≤ 2	0.8~1.1		
4	分闸不同期性	ms	≤ 2	0.9~1.2		
5	手力合闸操作力	N	≤ 250	117		
6	手力分闸操作力	N	≤ 250	113		

试验结果: 符合

机械操作试验

试验日期: 2023-03-18

联锁 (机械寿命试验后):

序号	试验项目	试验情况
1	可移开部件只有在工作位置、试验位置时, 断路器才能进行分、合闸操作, 试操作 50 次, 联锁应可靠。	联锁可靠
2	断路器只有在分闸位置时, 才能用操作手柄抽出或插入可移开部件, 试操作各 25 次, 联锁应可靠。	联锁可靠
3	处于合闸位置的接地开关只有相应隔室的门关闭后才能分闸, 可移开部件才能插入, 试操作 25 次, 联锁应可靠。	联锁可靠
4	可移开部件只有处于试验位置时, 接地开关才能合闸, 相应隔室的门才能打开, 试操作 25 次, 联锁应可靠。	联锁可靠
5	断路器只有在与自动分闸相关的辅助回路均已接通时才能在工作位置合闸, 试操作 25 次, 联锁应可靠。	联锁可靠
6	断路器在工作位置时辅助回路不能断开, 相应隔室的门不能打开, 试操作 25 次, 联锁应可靠。	联锁可靠

试验结果: 符合

回路电阻的测量

试验日期: 2023-03-18

1、 试验方法: 采用回路电阻测试仪测量电阻

试验电流: 100A (DC)

2、 试验数据:

温升试验前

测试部位: 主回路、断路器

环境温度: 14.5 °C

测量部位		试验次数 (次)	要求值 ($\mu\Omega$)	试验电流平均值 (A)	测量电阻平均值 ($\mu\Omega$)
主回路	A相	3	≤ 150	100.5	86.3
	B相			100.5	80.6
	C相			100.5	83.0
断路器	A相	3	≤ 60	100.5	33.7
	B相			100.5	32.8
	C相			100.5	34.6

试验结果: 符合

温升试验

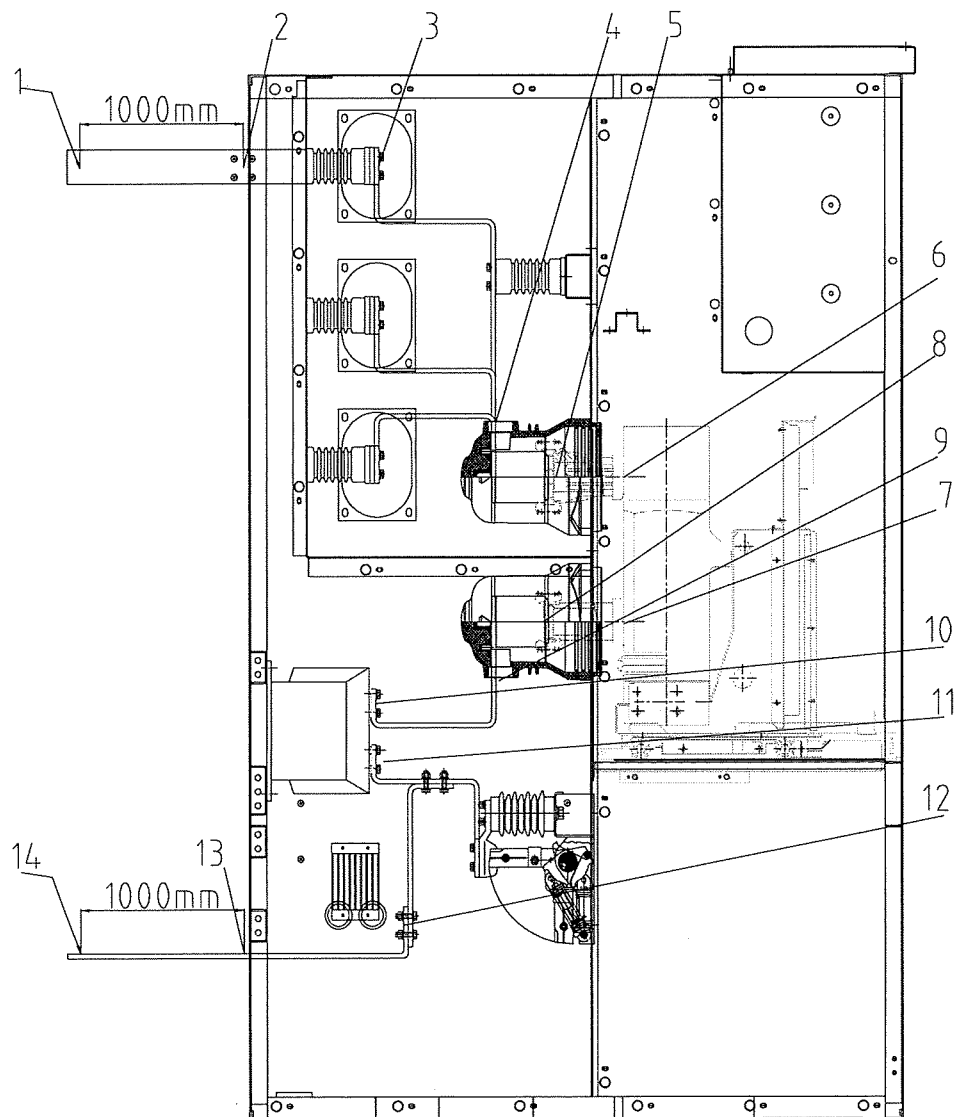
试验日期: 2023-03-20

试验在户内厂房进行, 三相通流。

测量环温的油瓶布置在距离试品 1m 处、处于载流部件平均高度上, 内装 0.5L 以上变压器油使用 1 级允差 J 型热电偶进行温度测量。

试验时开关柜两侧封板用 50mm 厚聚乙烯泡沫板覆盖。

温升测量点示意图:



温升试验

试验数据:

环境温度(°C): +10~+40	16.2	频率 (Hz): $50_{-5\%}^{+2\%}$	50.0	
试验电流 (A): $1.1I_r^{+2\%}$	1375	风速 (m/s): ≤ 0.5	<0.5	
连接导线 (铜排 a×b×L×根)		进线: 80×8×2×1	mm×mm×m×根	
		出线: 80×8×2×1	mm×mm×m×根	
测量部位或编号	温升限值 (K)	温升值 (K)		
		A 相	B 相	C 相
1	/	48.4	50.0	48.4
2	≤ 65	51.4	52.5	51.0
3	≤ 65	56.2	56.8	56.1
4	≤ 65	60.0	60.9	58.7
5	≤ 65	62.3	63.6	61.1
6	≤ 75	66.3	66.7	64.7
7	≤ 75	66.0	66.7	65.0
8	≤ 65	62.1	64.3	62.6
9	≤ 65	57.3	59.4	59.3
10	≤ 65	52.6	/	54.5
11	≤ 65	52.9	/	52.9
12	≤ 65	54.0	54.0	53.1
13	/	52.1	52.0	51.3
14	/	47.9	49.3	48.3
前门板	≤ 30	10.3		
侧板	≤ 40	18.5		

试验结果: 符合

回路电阻的测量

试验日期: 2023-03-21

1、 试验方法: 采用回路电阻测试仪测量电阻

试验电流: 100A (DC)

2、 试验数据:

温升试验后

测试部位: 主回路、断路器

环境温度: 15.3 °C校正温度: 14.5 °C

测量部位		试验次数 (次)	试验电流平均值 (A)	测量电阻平均值 ($\mu\Omega$)	校正值 ($\mu\Omega$)	变化量 (%)
主回路	A 相	3	100.5	87.6	87.3	1.16
	B 相		100.5	81.5	81.2	0.74
	C 相		100.5	84.3	84.0	1.20
断路器	A 相	3	100.5	34.2	34.1	1.19
	B 相		100.5	33.2	33.1	0.91
	C 相		100.5	35.1	35.0	1.16

试验后, 测得回路电阻变化量小于 20%。

备注: “变化量” 为校正值与温升试验前测量值比较结果。

试验结果: 符合

以下空白 TEST REPORT END

